

fig. 1

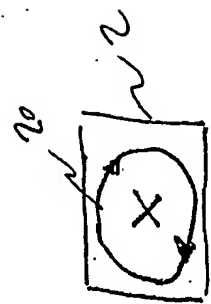


Fig. 2B

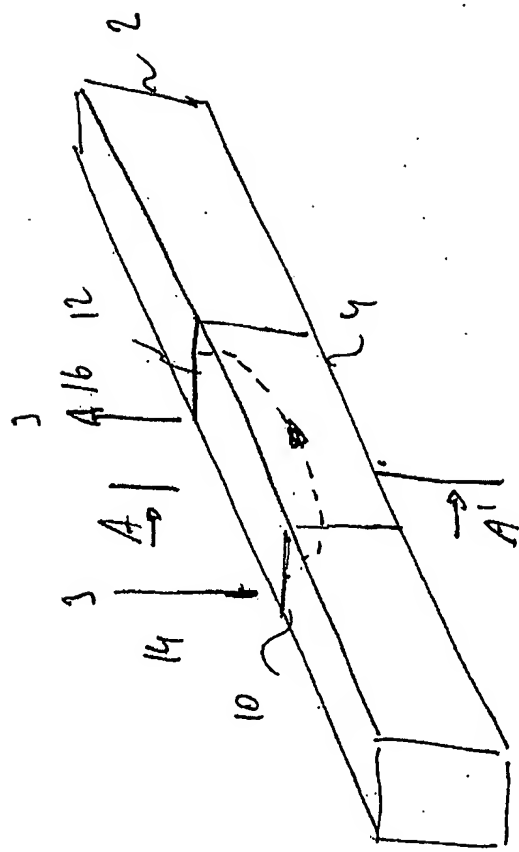


Fig. 2A

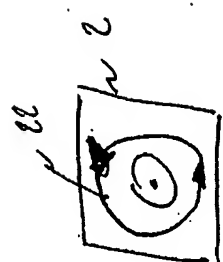
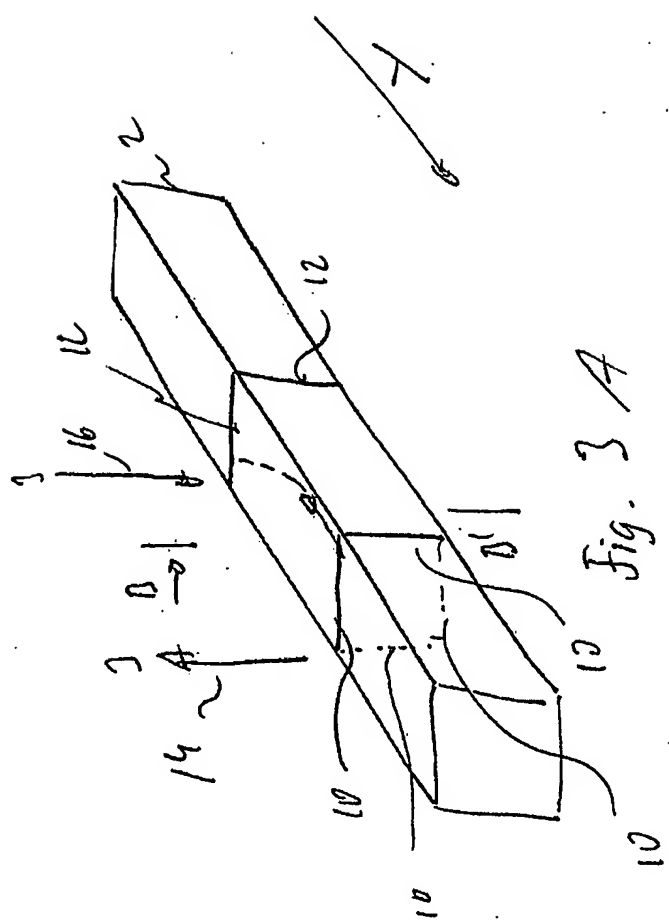


Fig. 3B



10' fig. 3 A

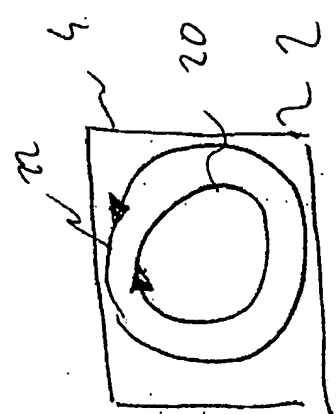
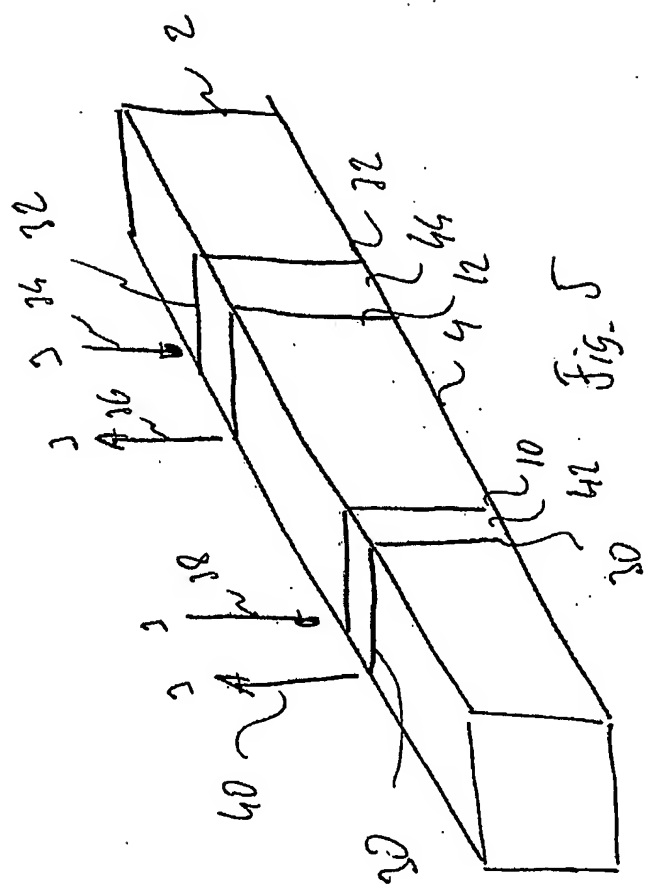


Fig. 4



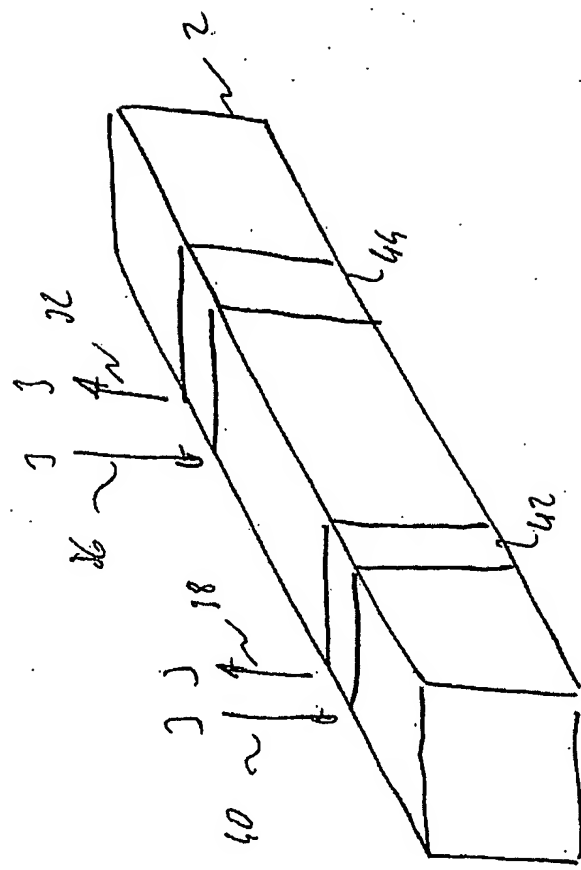


Fig. 6

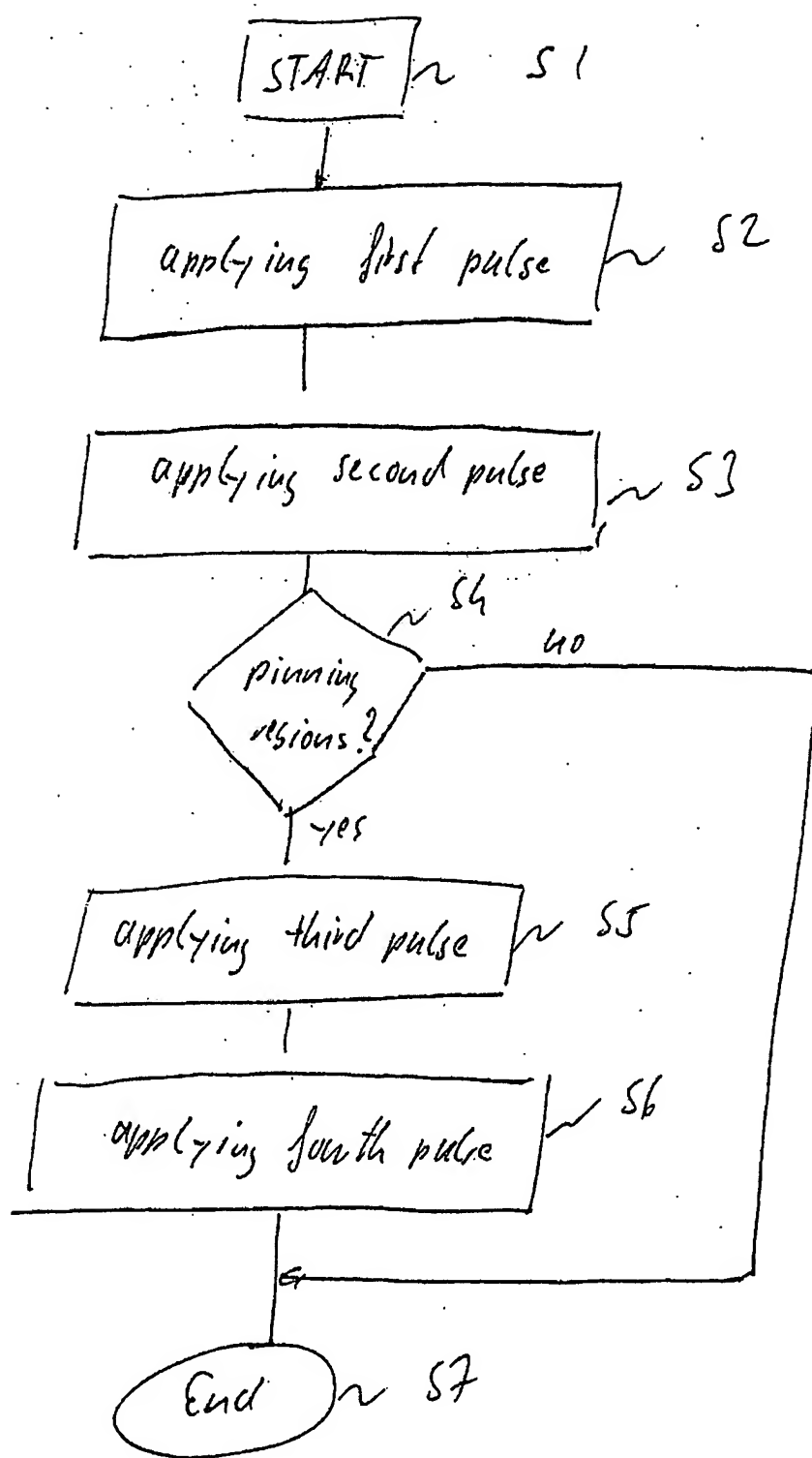


Fig. 7

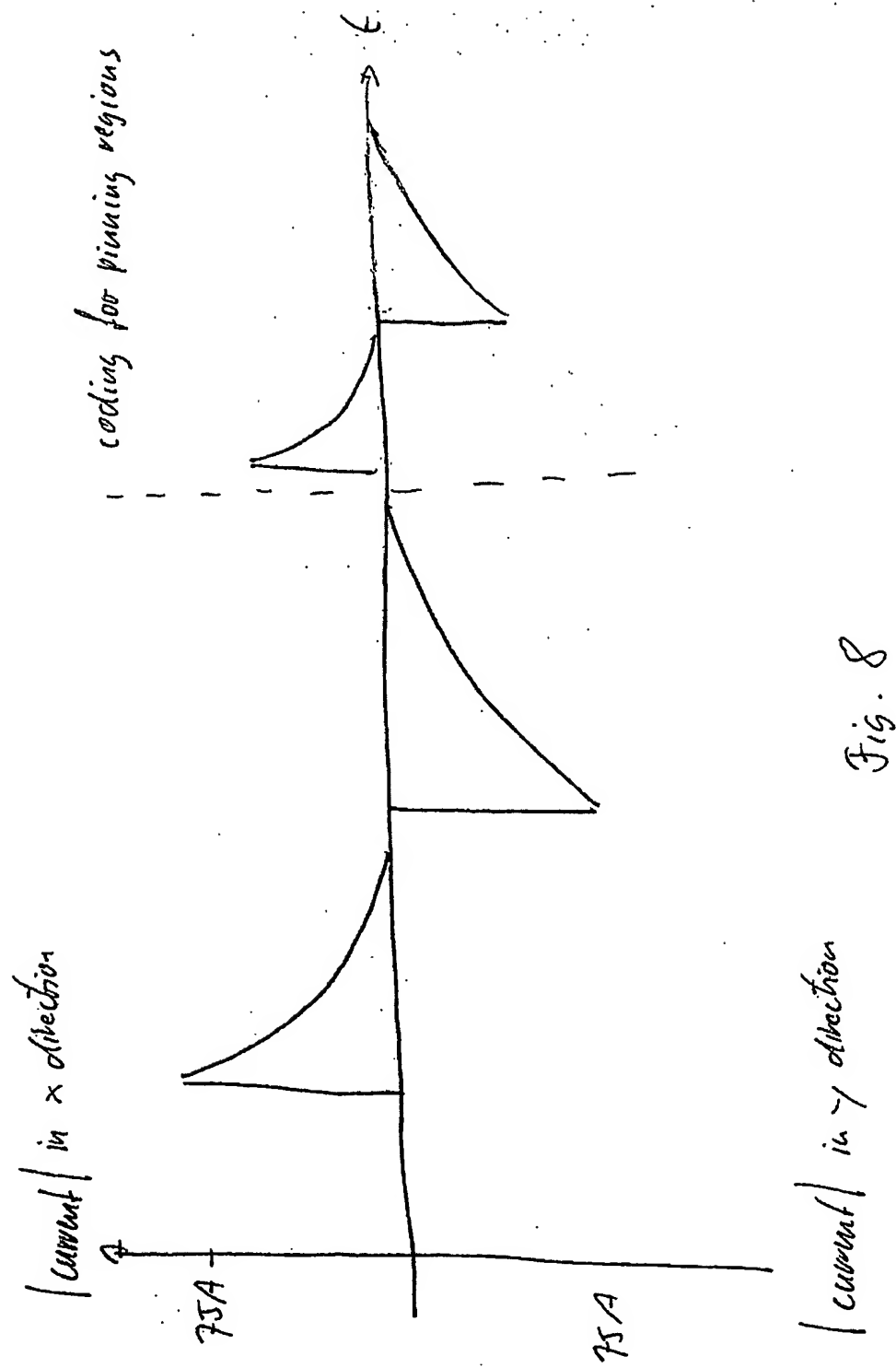
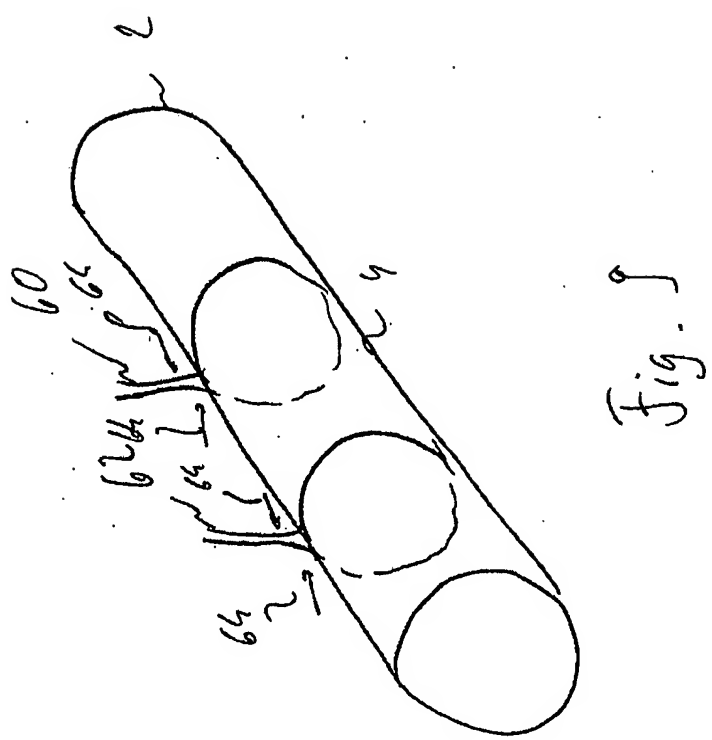


Fig. 8



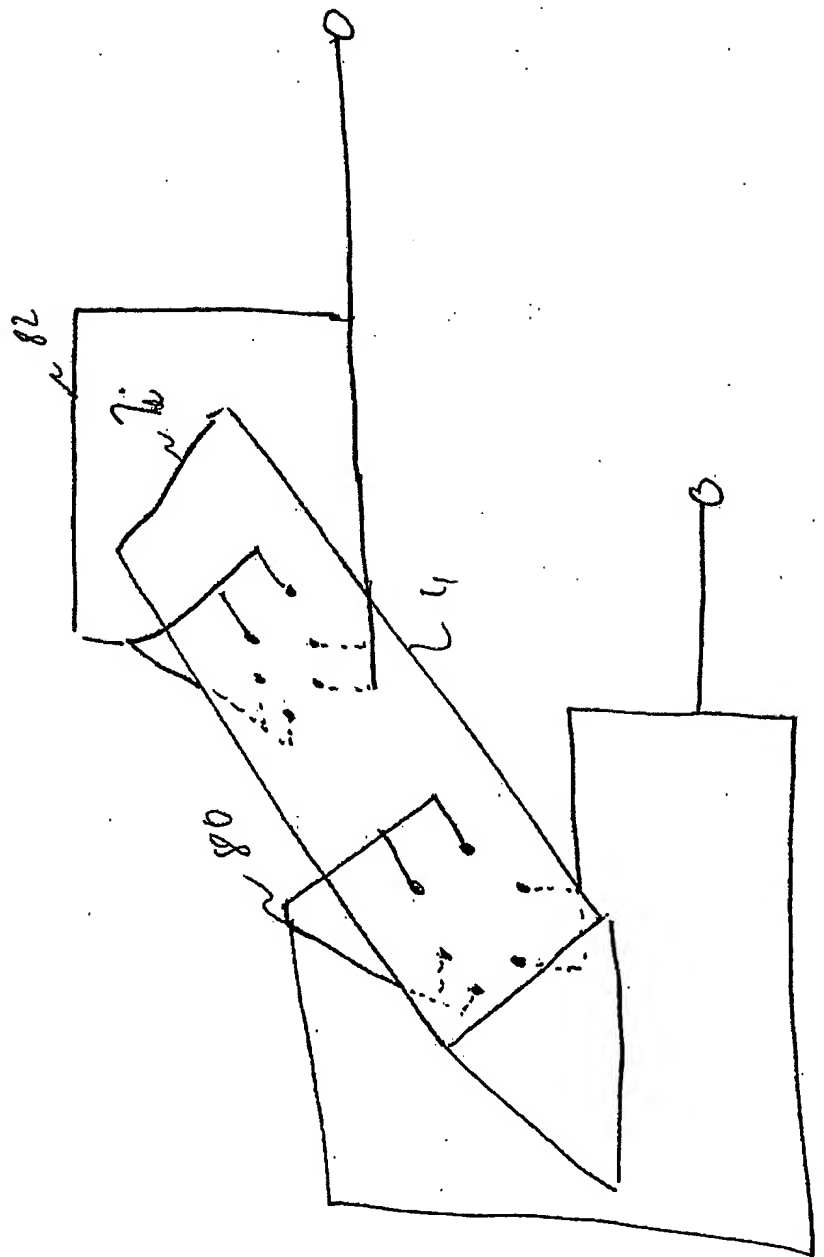


Fig. 10A

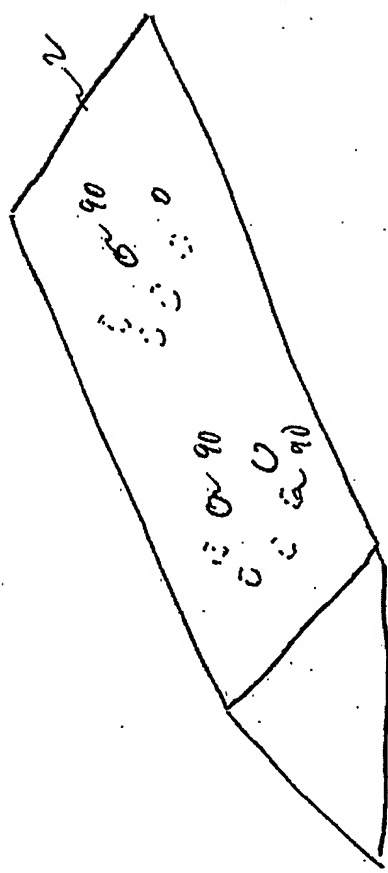


Fig. 10 B

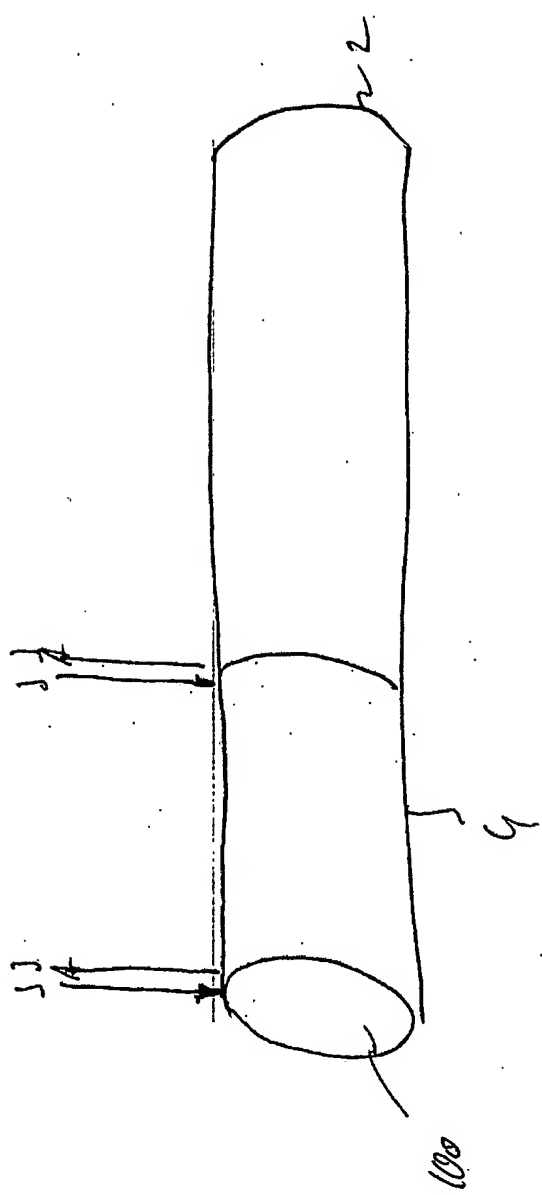


fig. 11

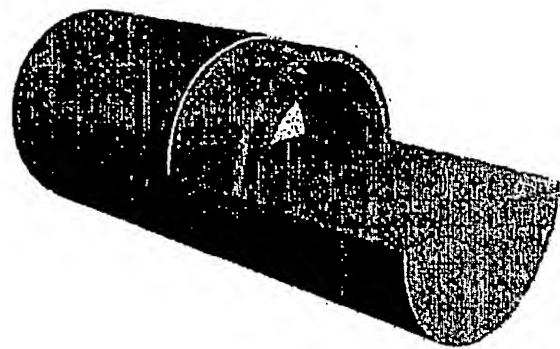


Fig.12

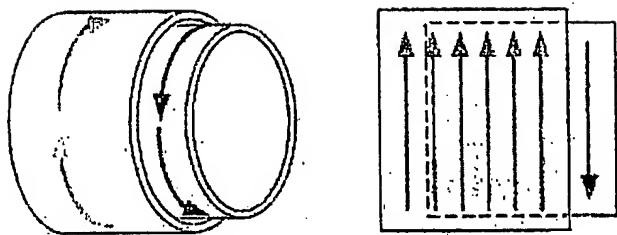


Fig.13

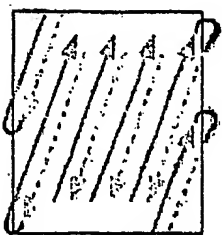


Fig. 14

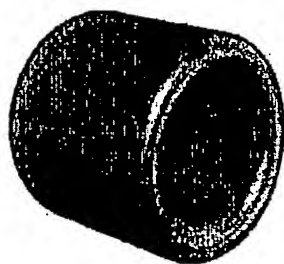


Fig. 15

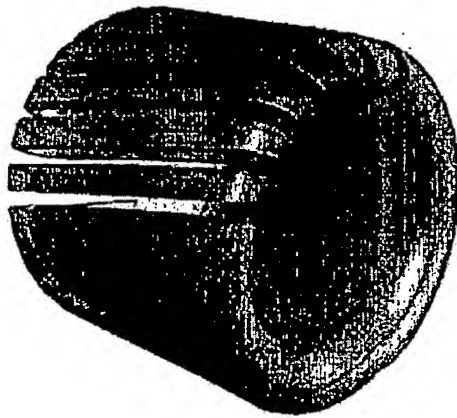


Fig. 16

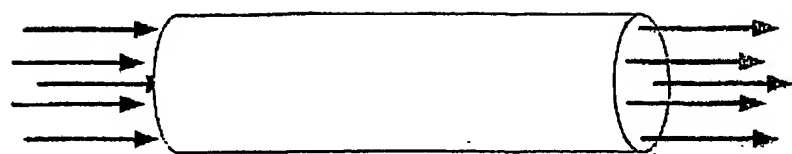


Fig. A

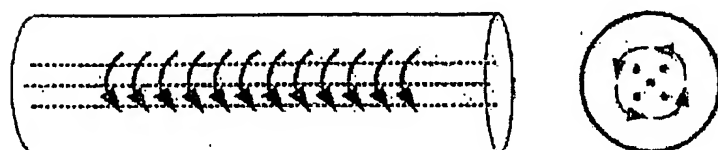


Fig. 18

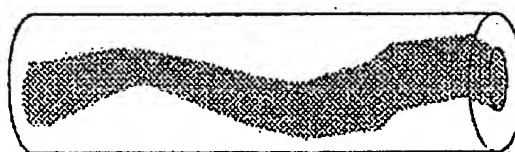


Fig. 19



Fig. 20

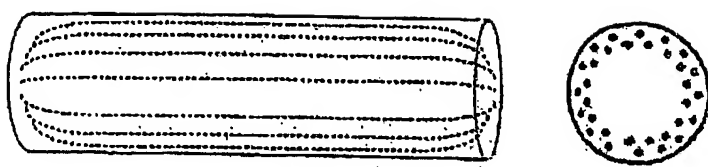


Fig. 21

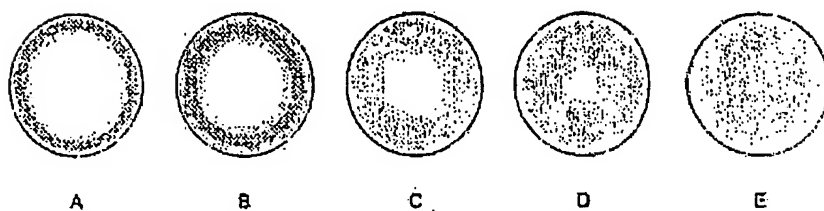


Fig. 22.

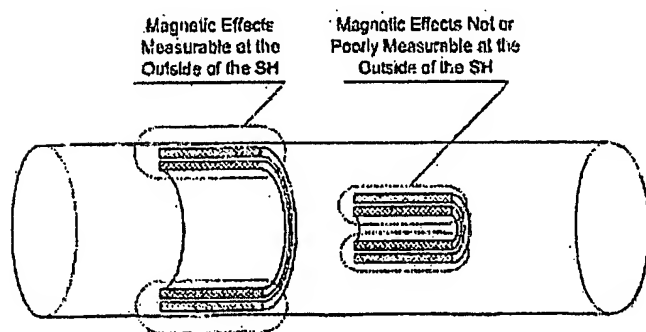
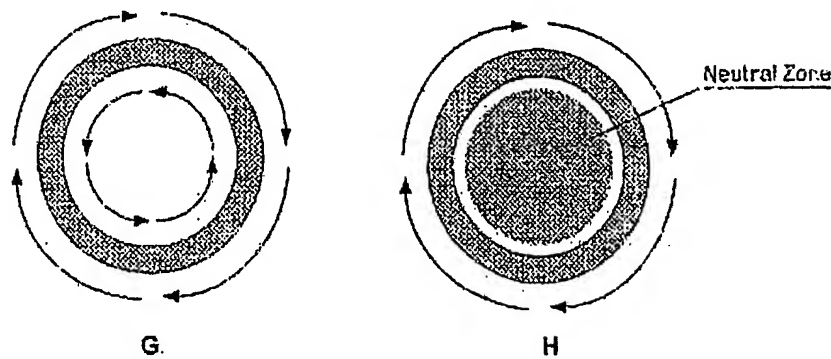
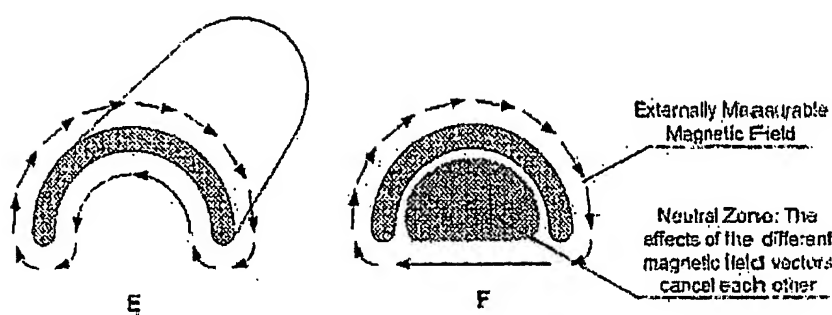
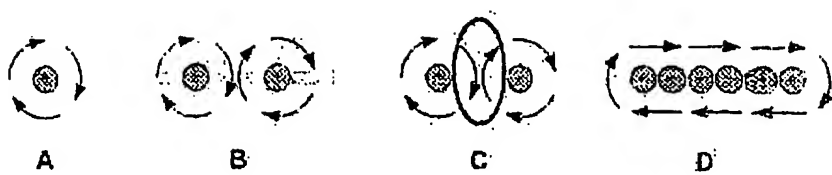


Fig. 23



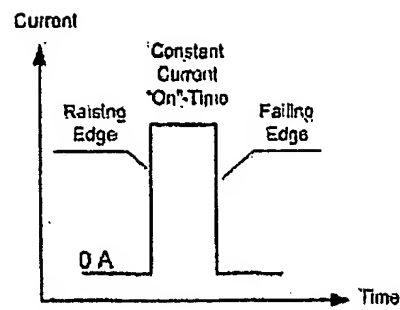


Fig. 27

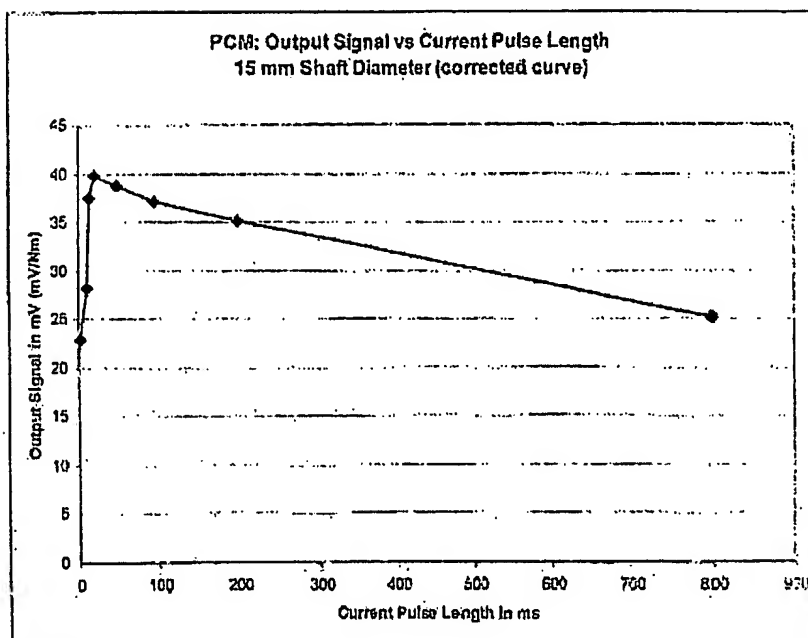


Fig. 28

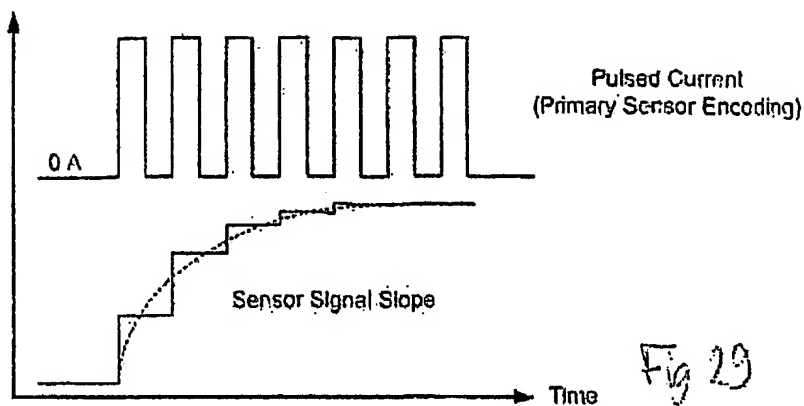


Fig 29

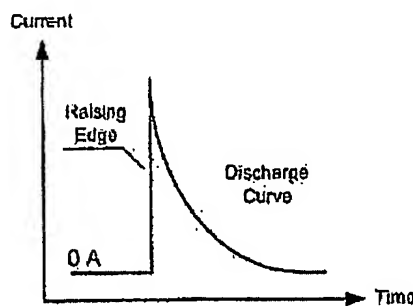


Fig 30

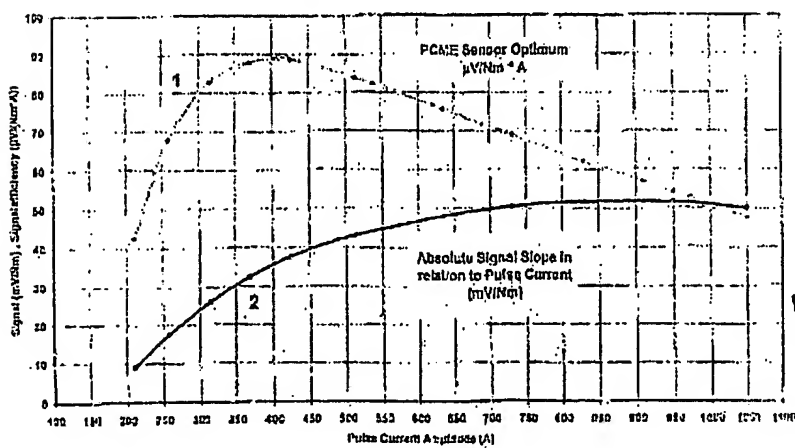
Signal (mV/Nm) and Signal Efficiency ( $\mu$ V/(Nm\*A)) vs Current at 15mm Shaft

Fig 31

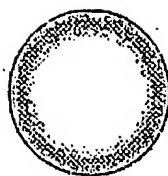


Fig. 32

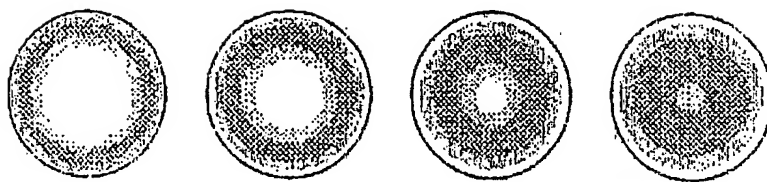
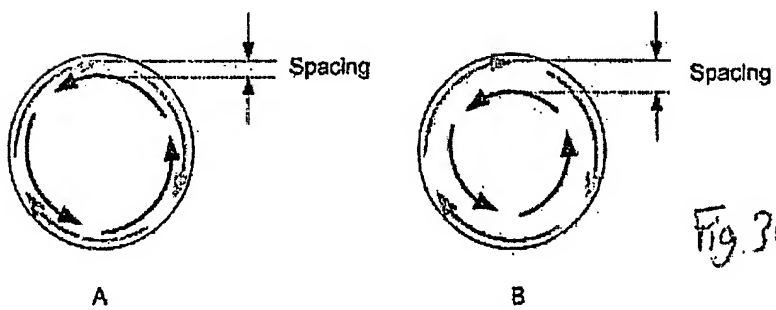


Fig. 33



A

B

Fig. 34

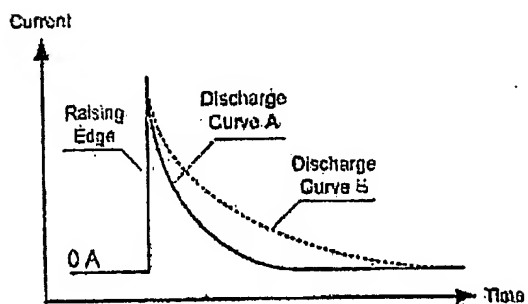


Fig. 35

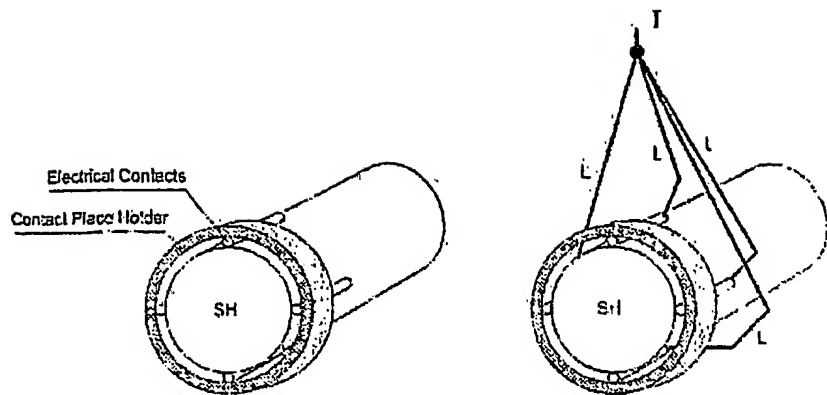


Fig. 36

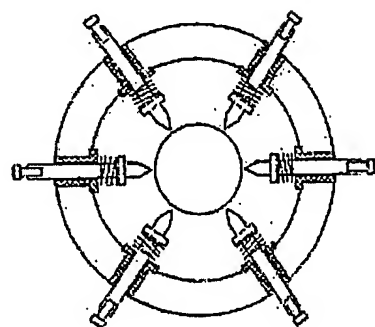


Fig. 37

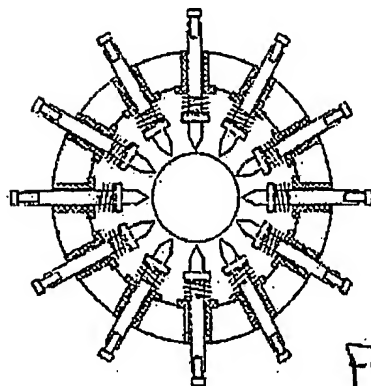
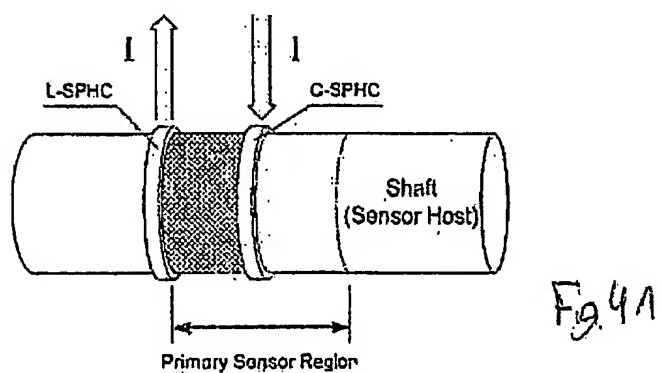
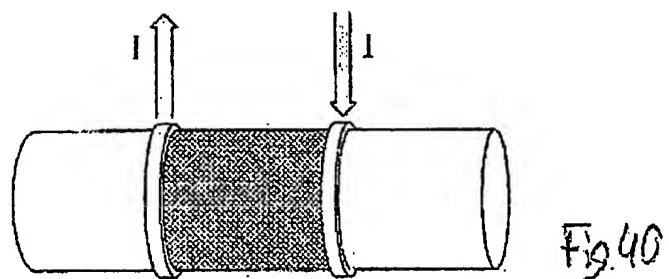
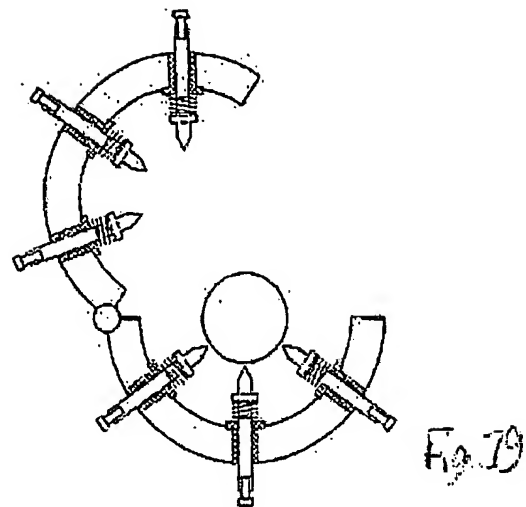


Fig. 38



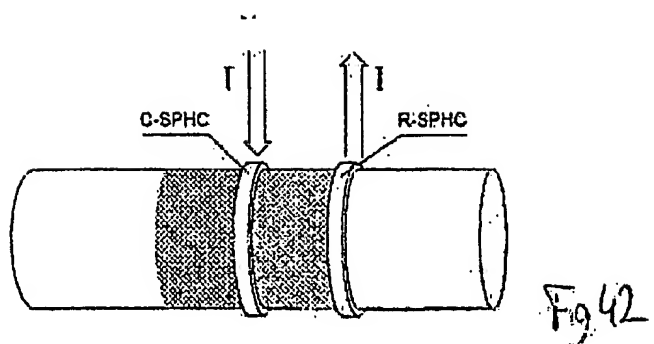


Fig. 42

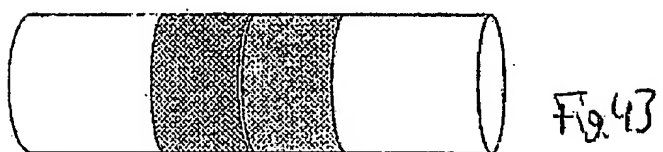


Fig. 43

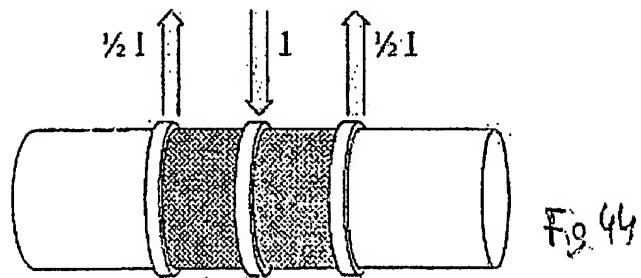


Fig. 44

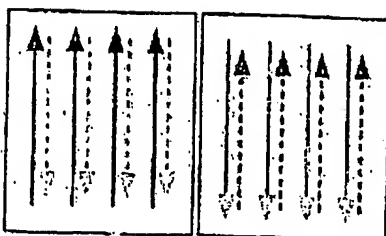


Fig. 45

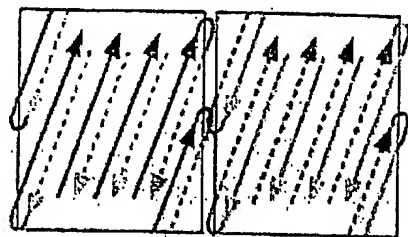


Fig. 46

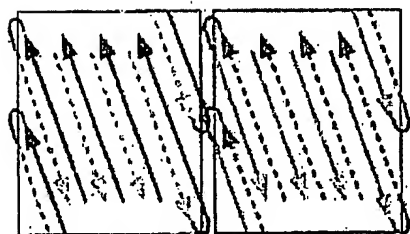


Fig. 47

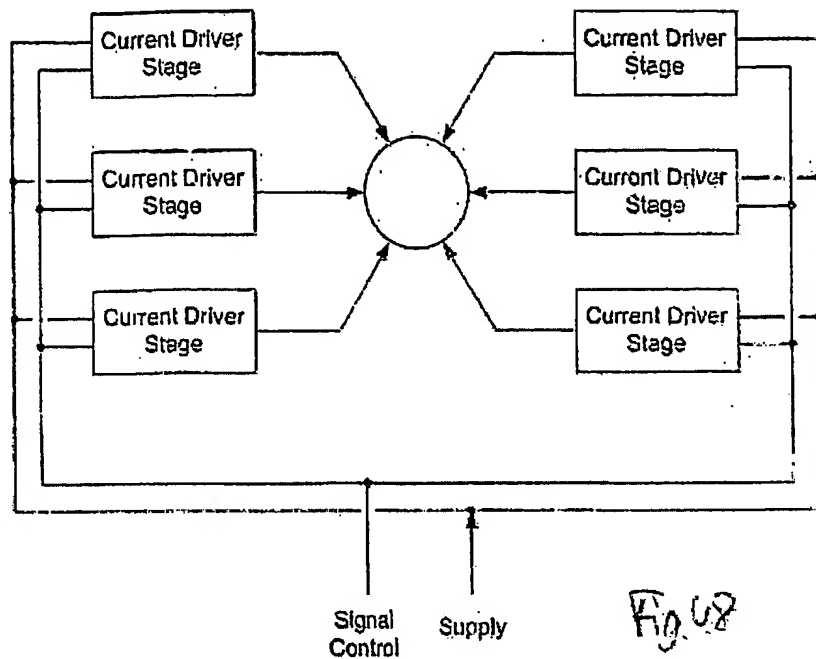


Fig. 48

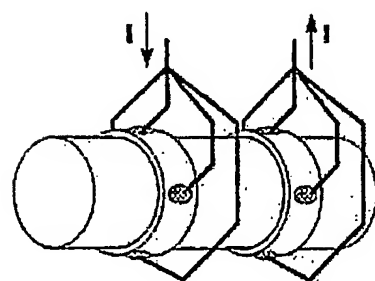
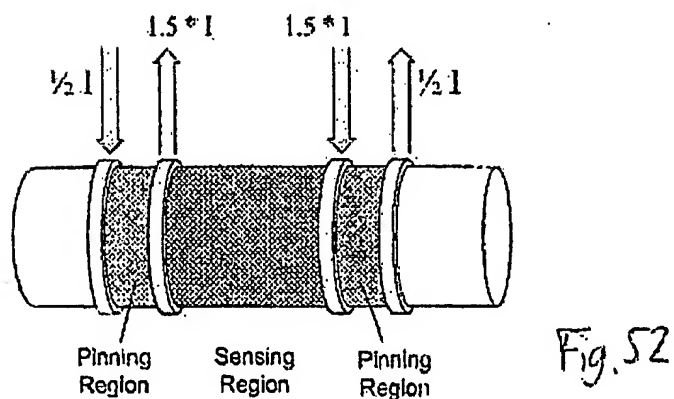
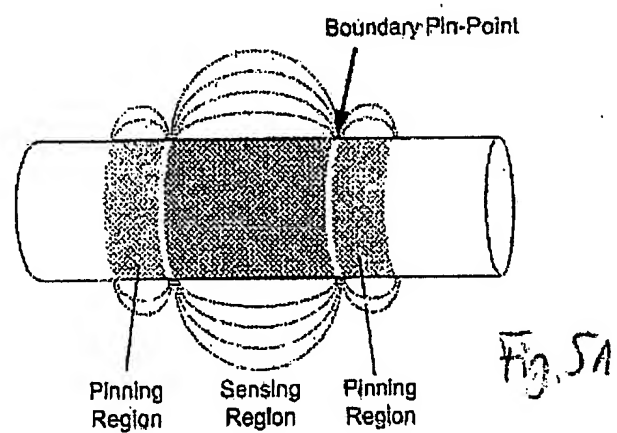
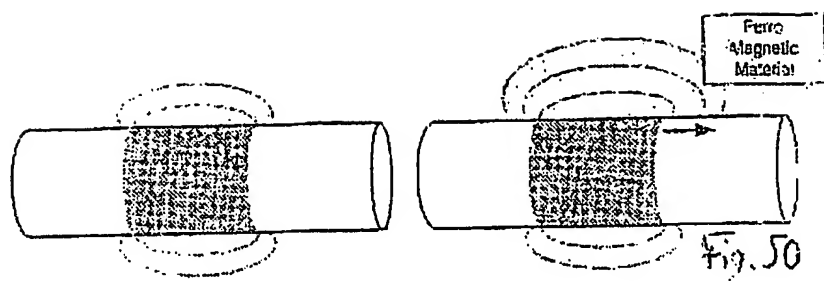


Fig. 49



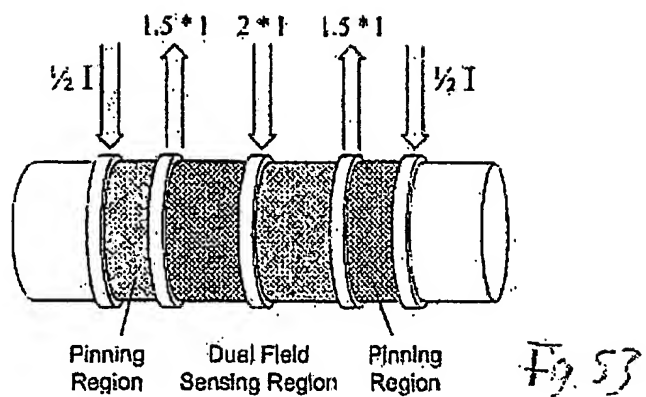


Fig. 53

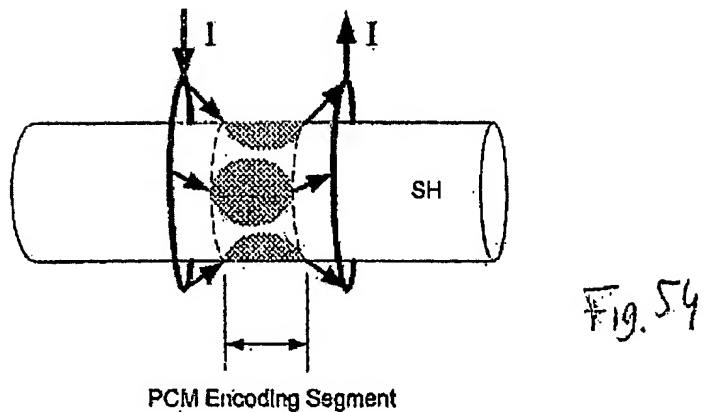


Fig. 54

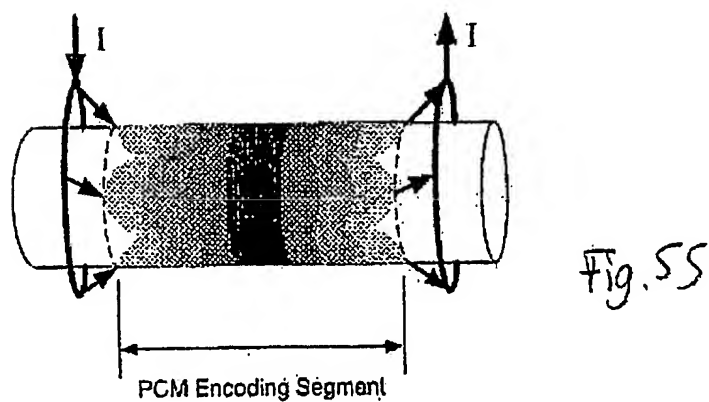


Fig. 55

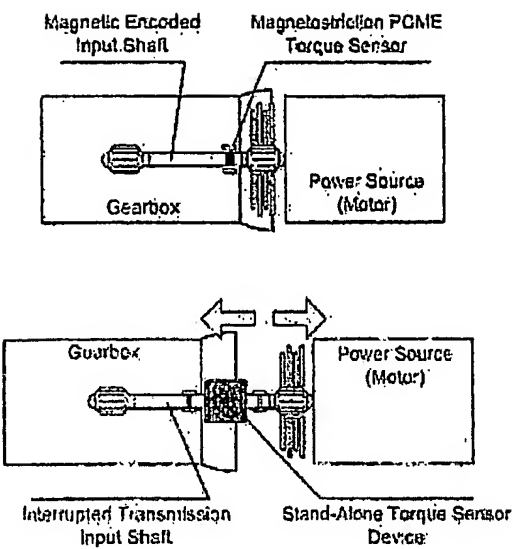


Fig. 56

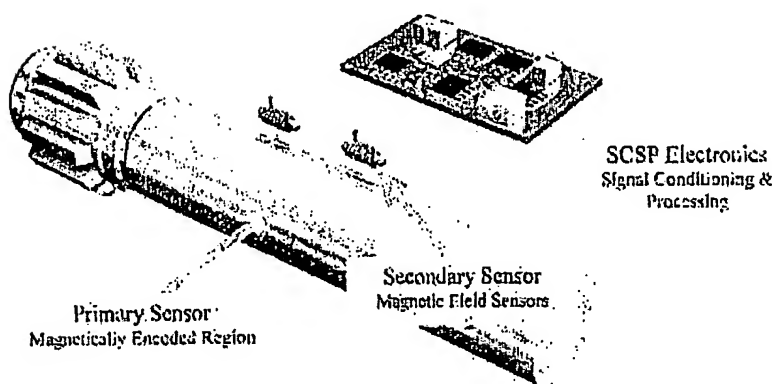


Fig. 57

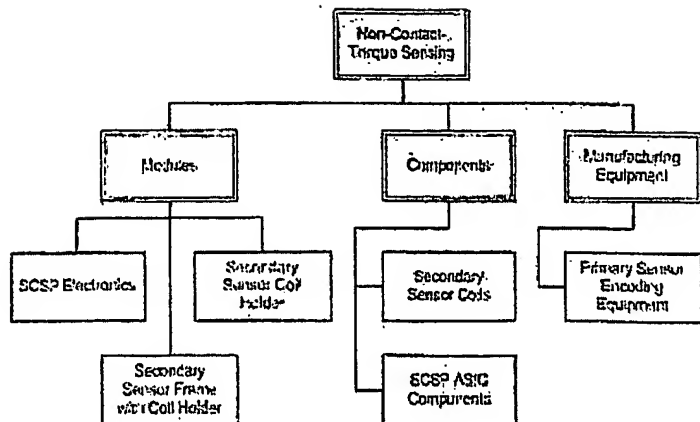


Fig. 58

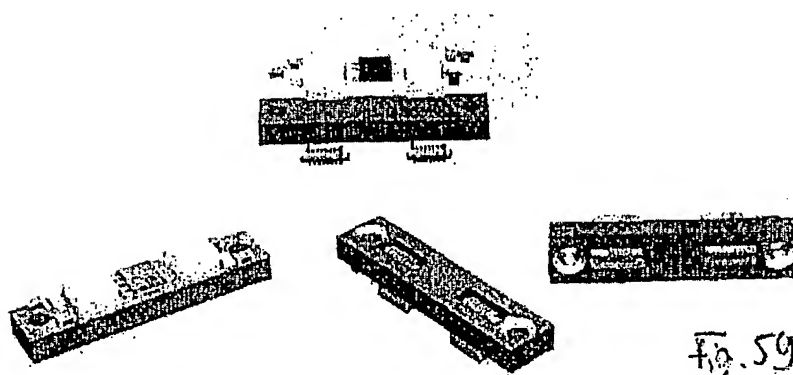


Fig. 59

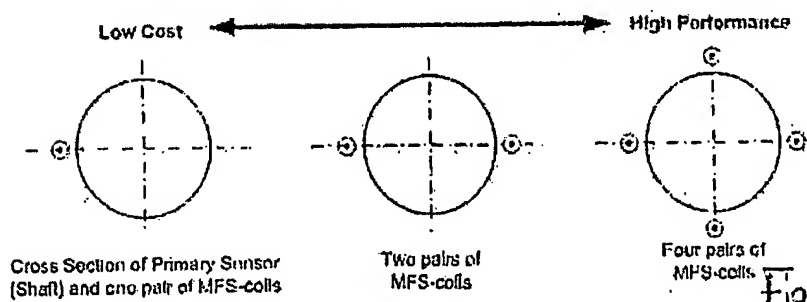


Fig. 60

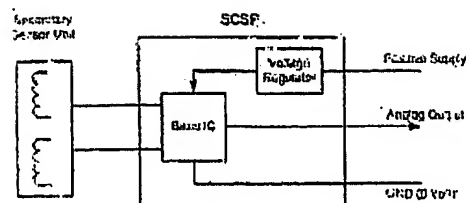


Fig.61

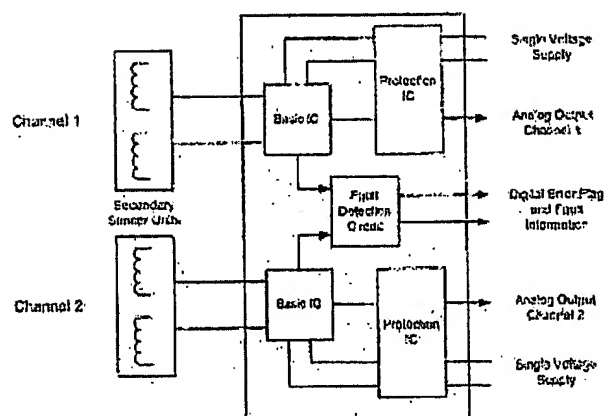


Fig.62

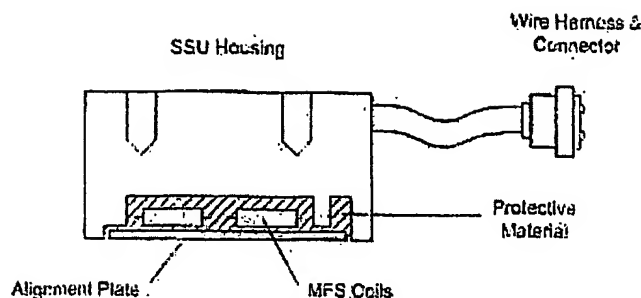


Fig. 63

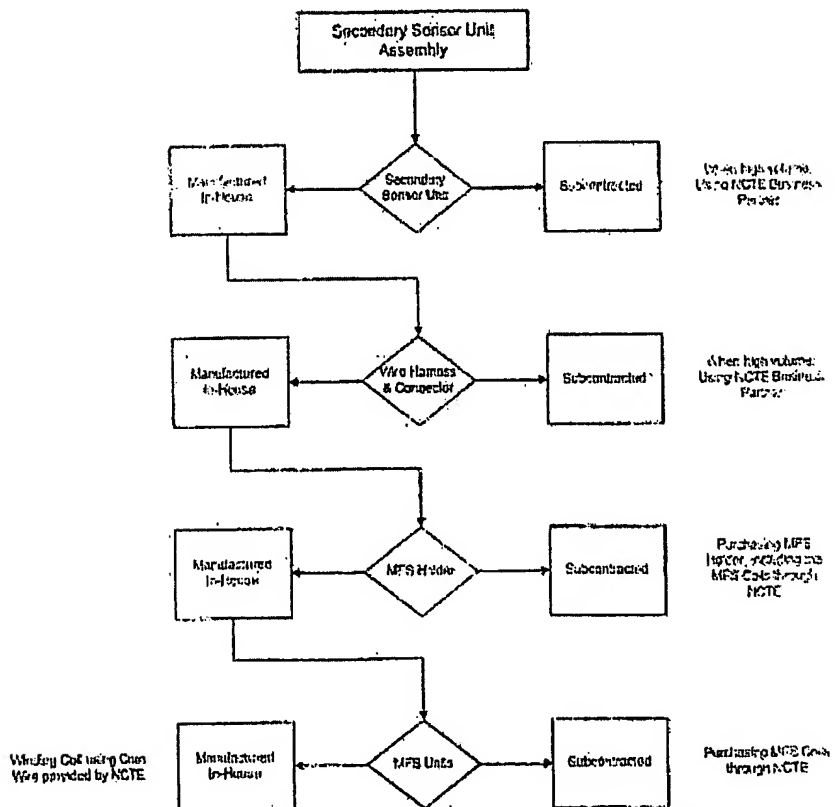


Fig. 64

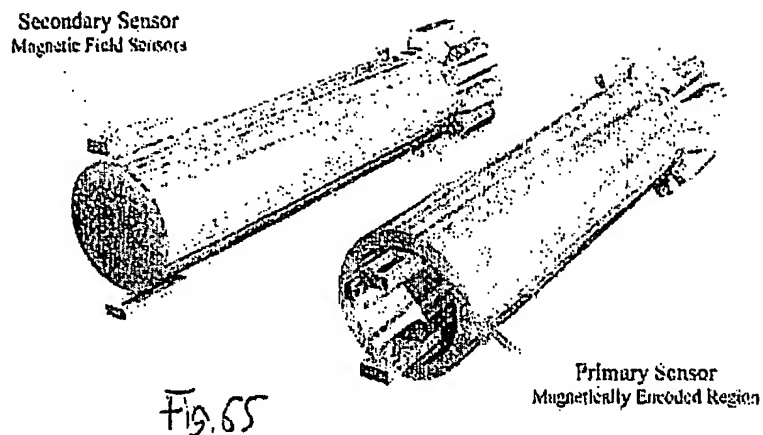


Fig. 65

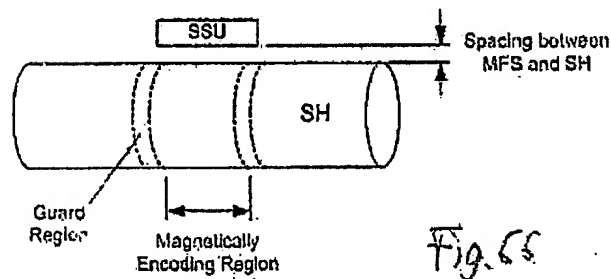


Fig. 66

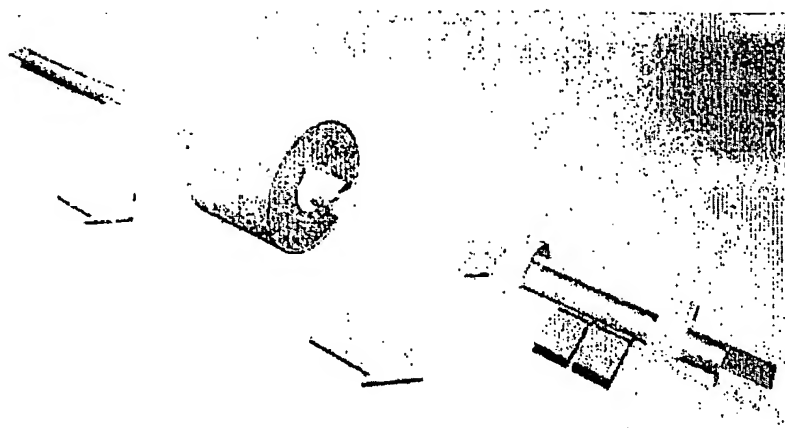
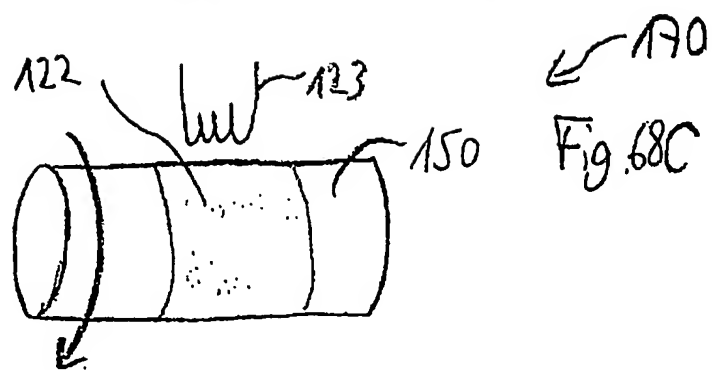
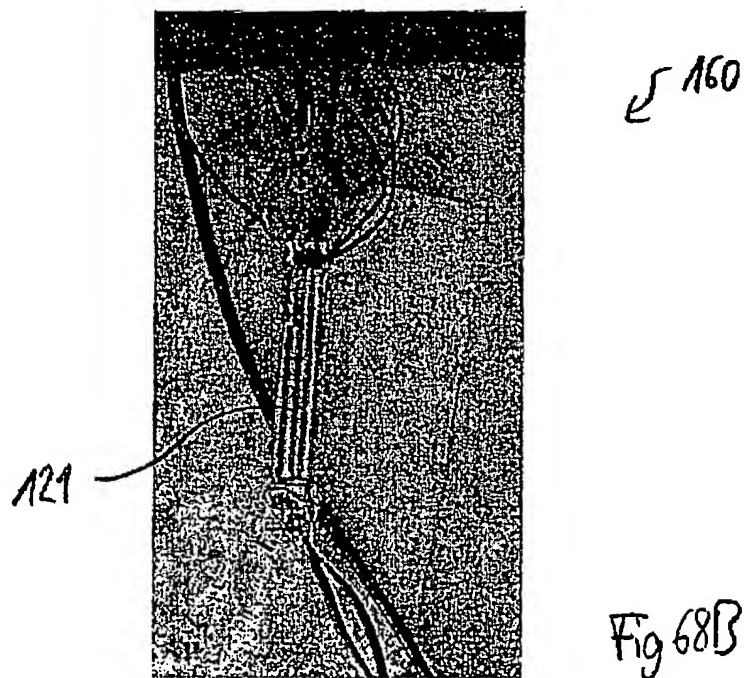
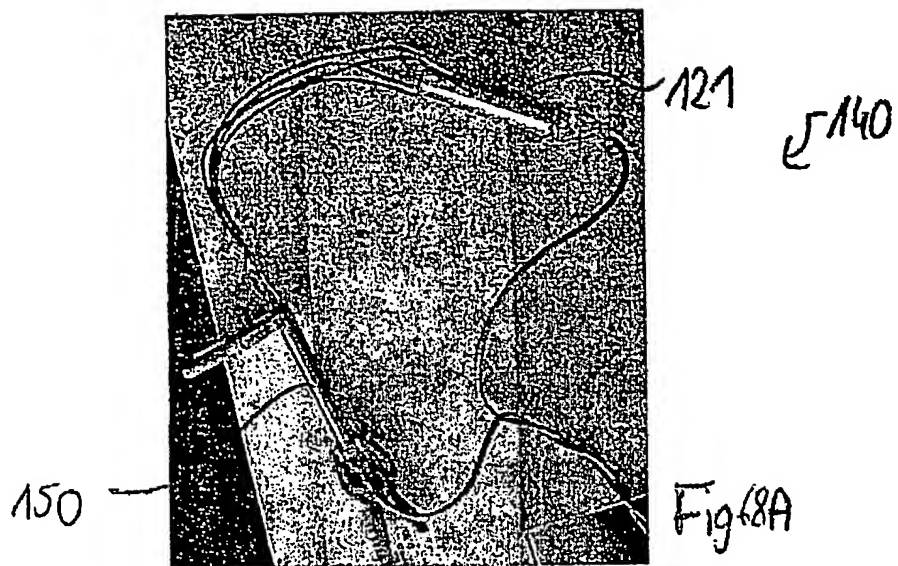
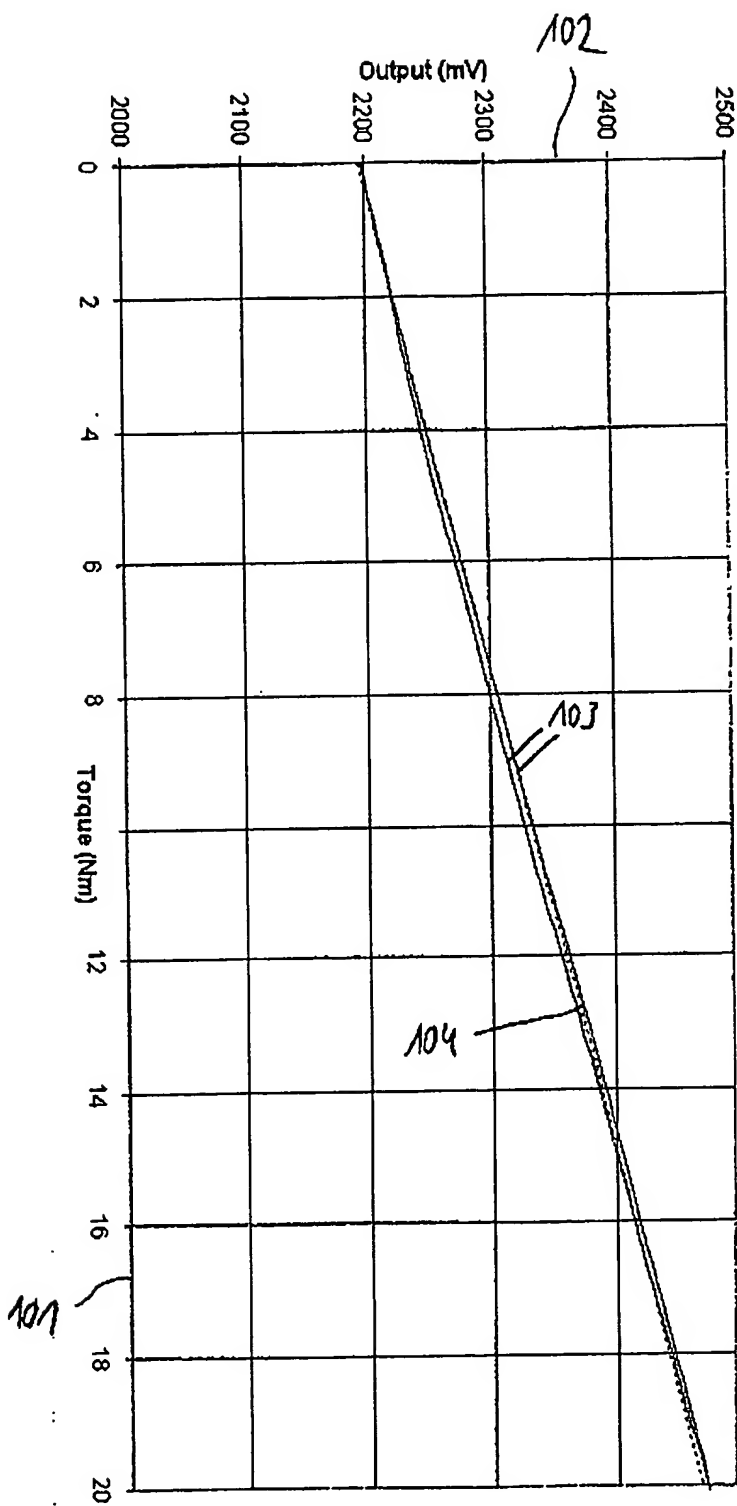


Fig. 67





9mm #1c 570A (G=0,4 Hyst.3,72% 13,8mV/Nm adapter deg.)

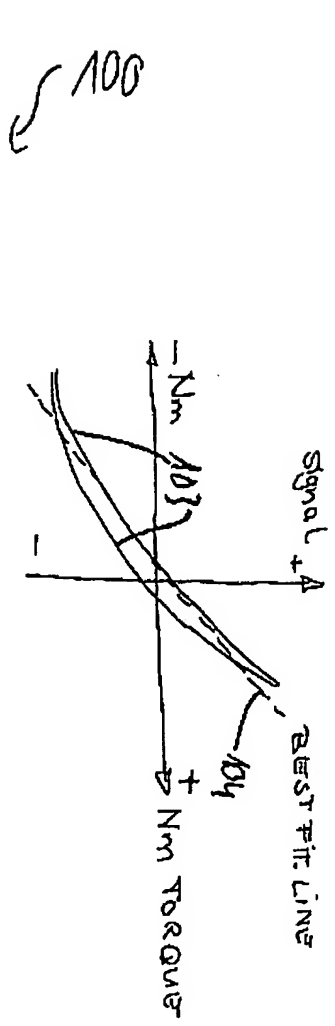
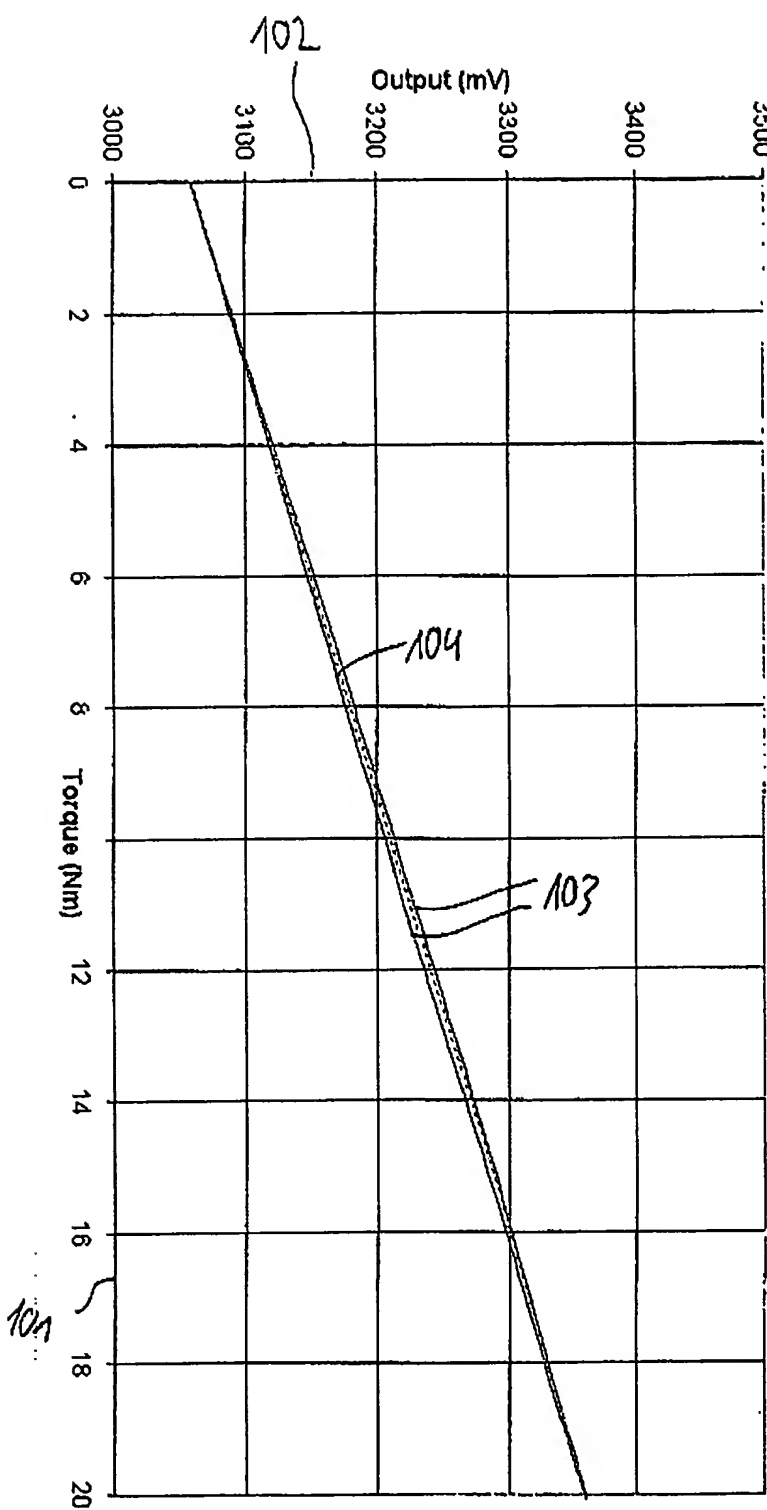


Fig. 681)



9mm #2c SAPP 560A (G= 0,4, Hyst: 2,69% 15,1mV/Nm adapters degausse)

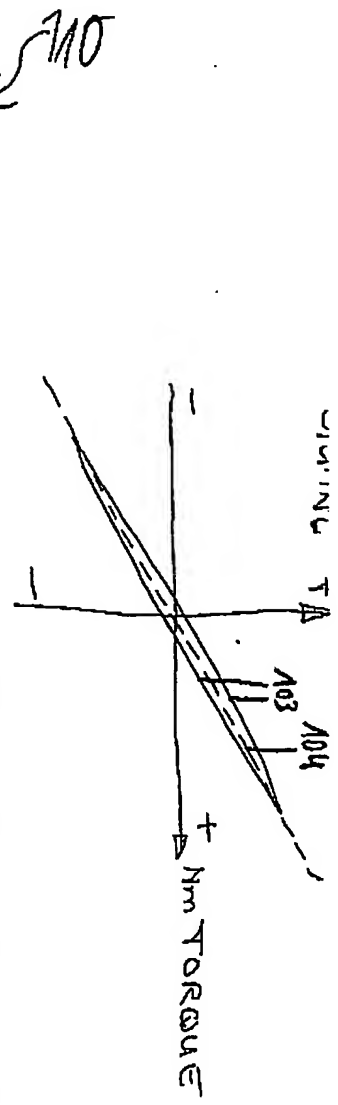


Fig. 68E

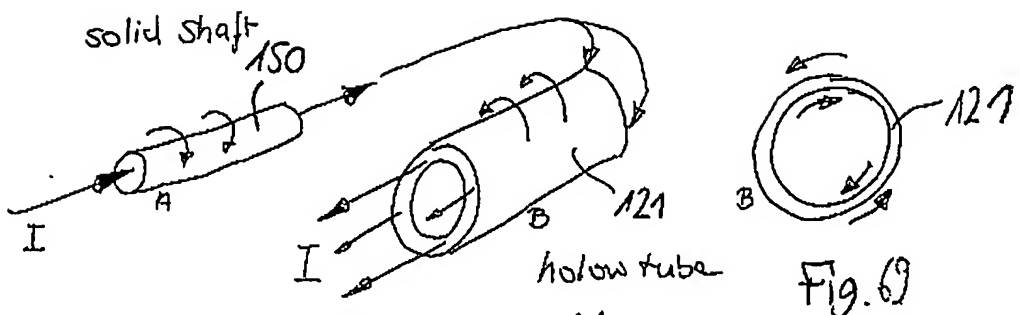


Fig. 69

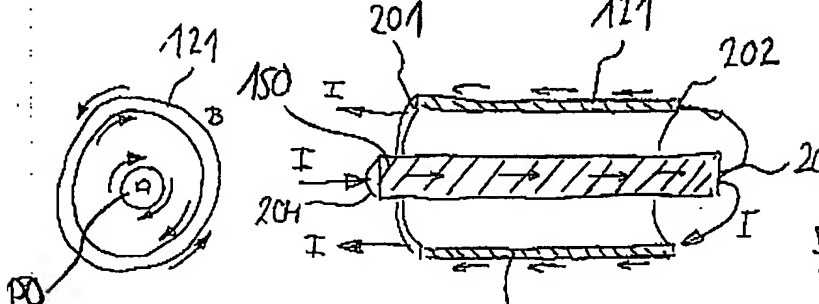


Fig. 70A

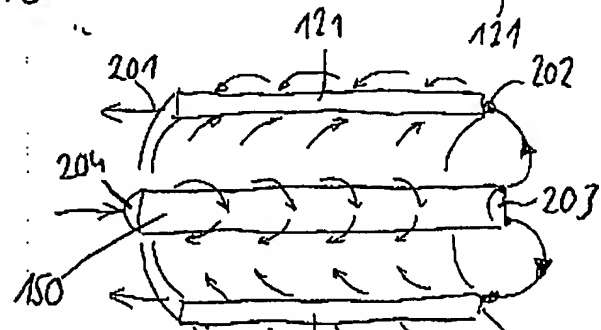


Fig. 70B

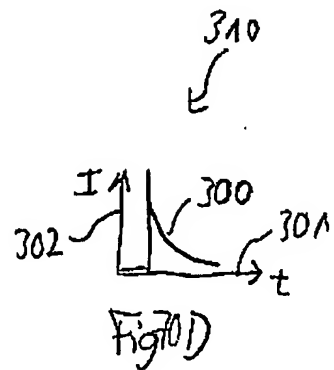


Fig. 70D

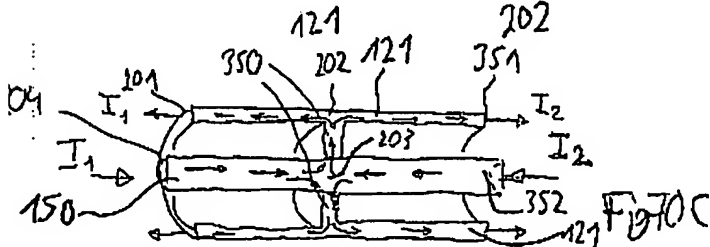
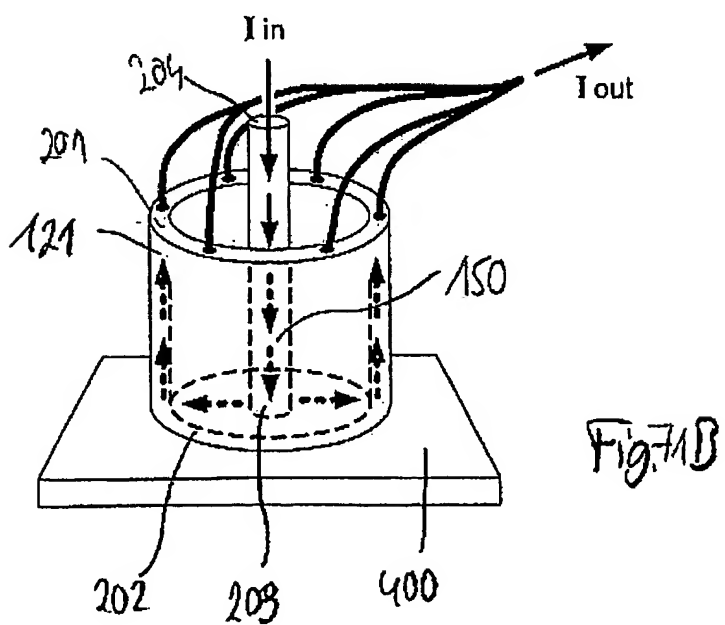
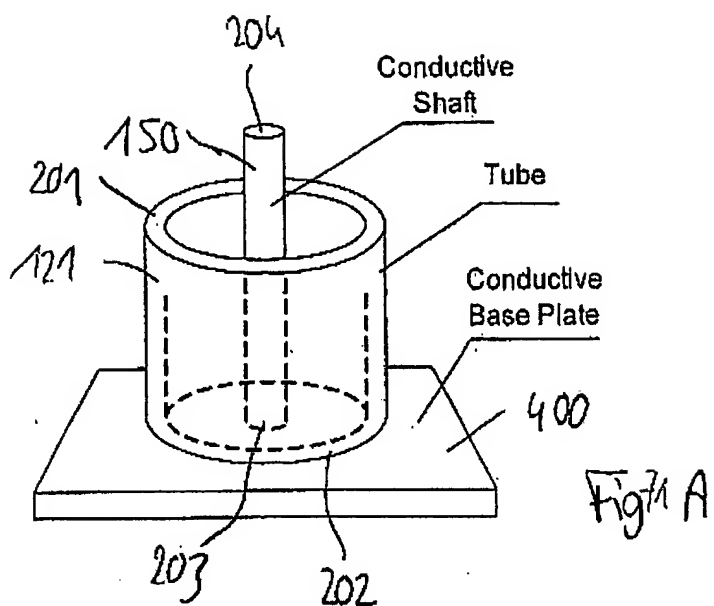
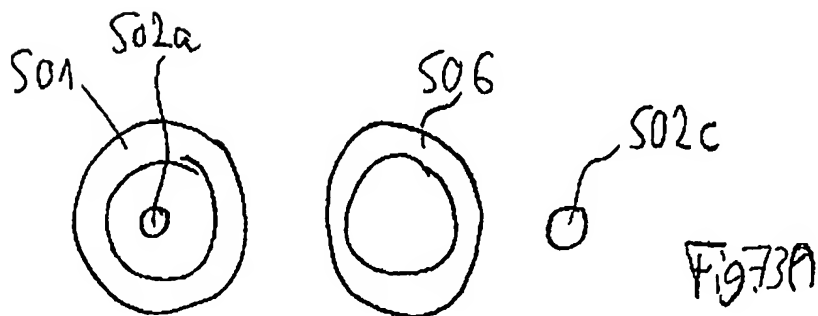
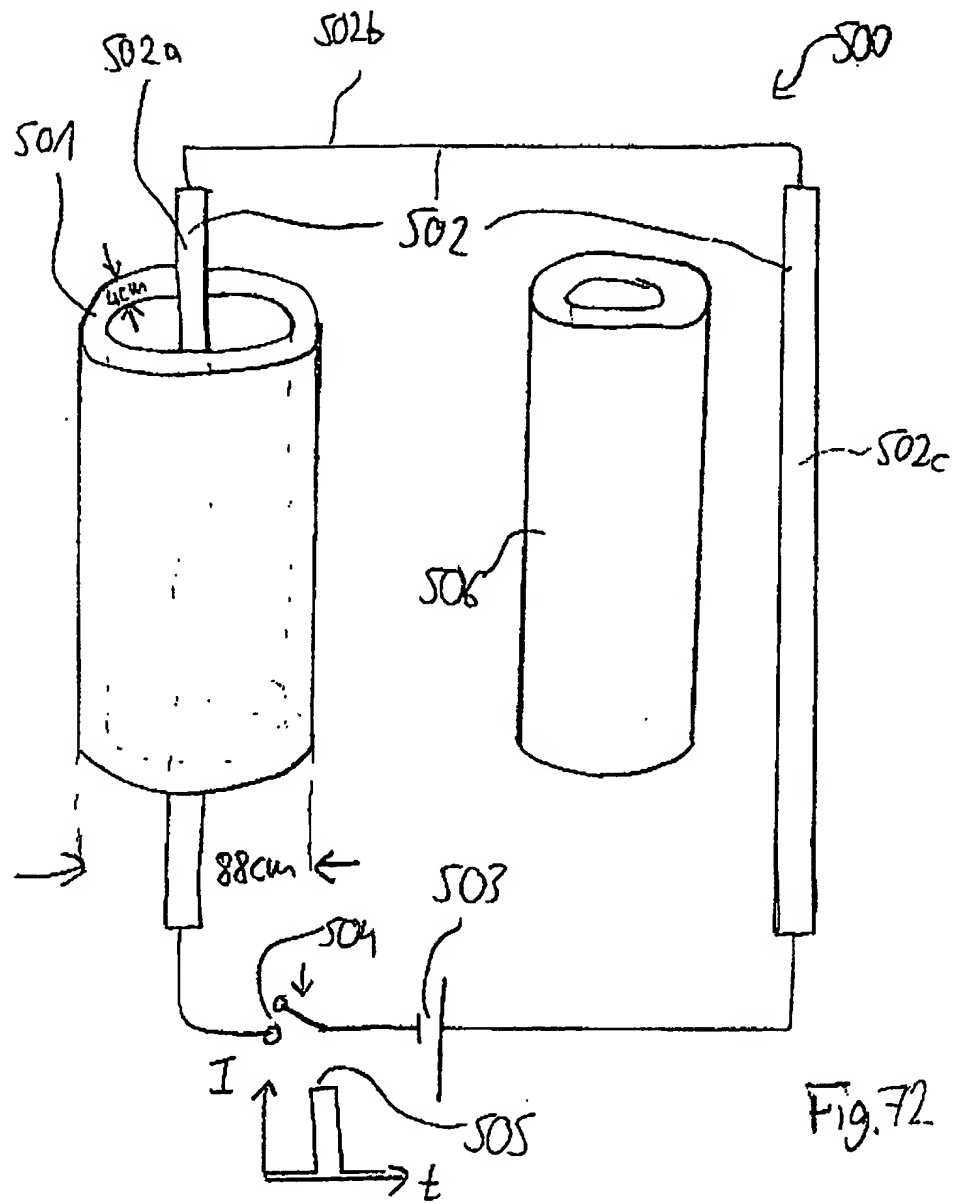


Fig. 70C





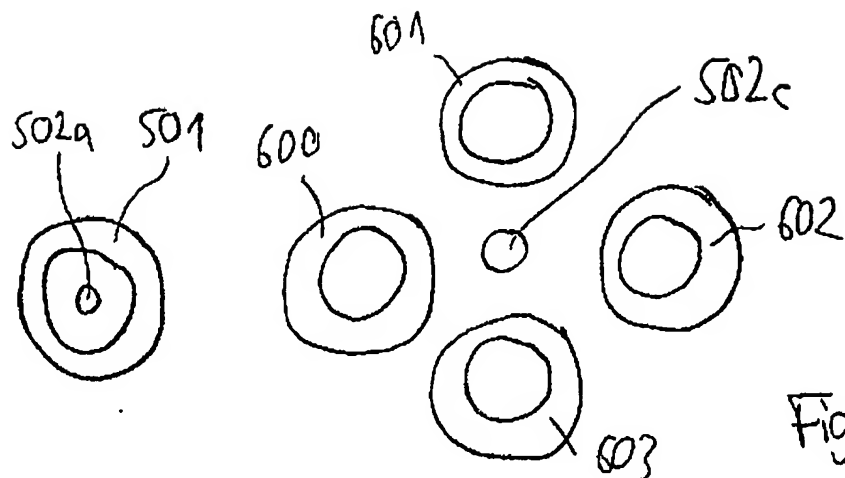


Fig. 73B

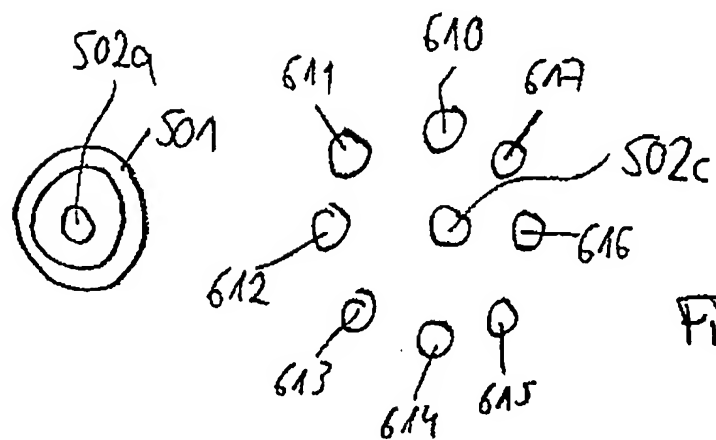


Fig. 73C

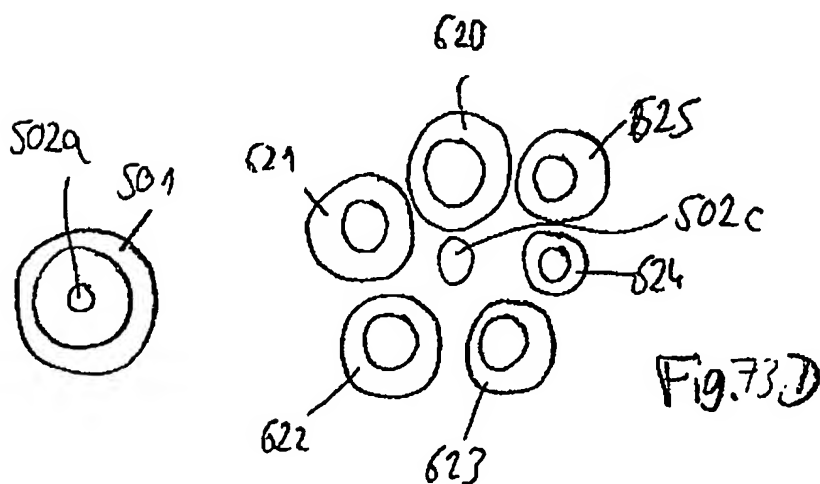


Fig. 73D

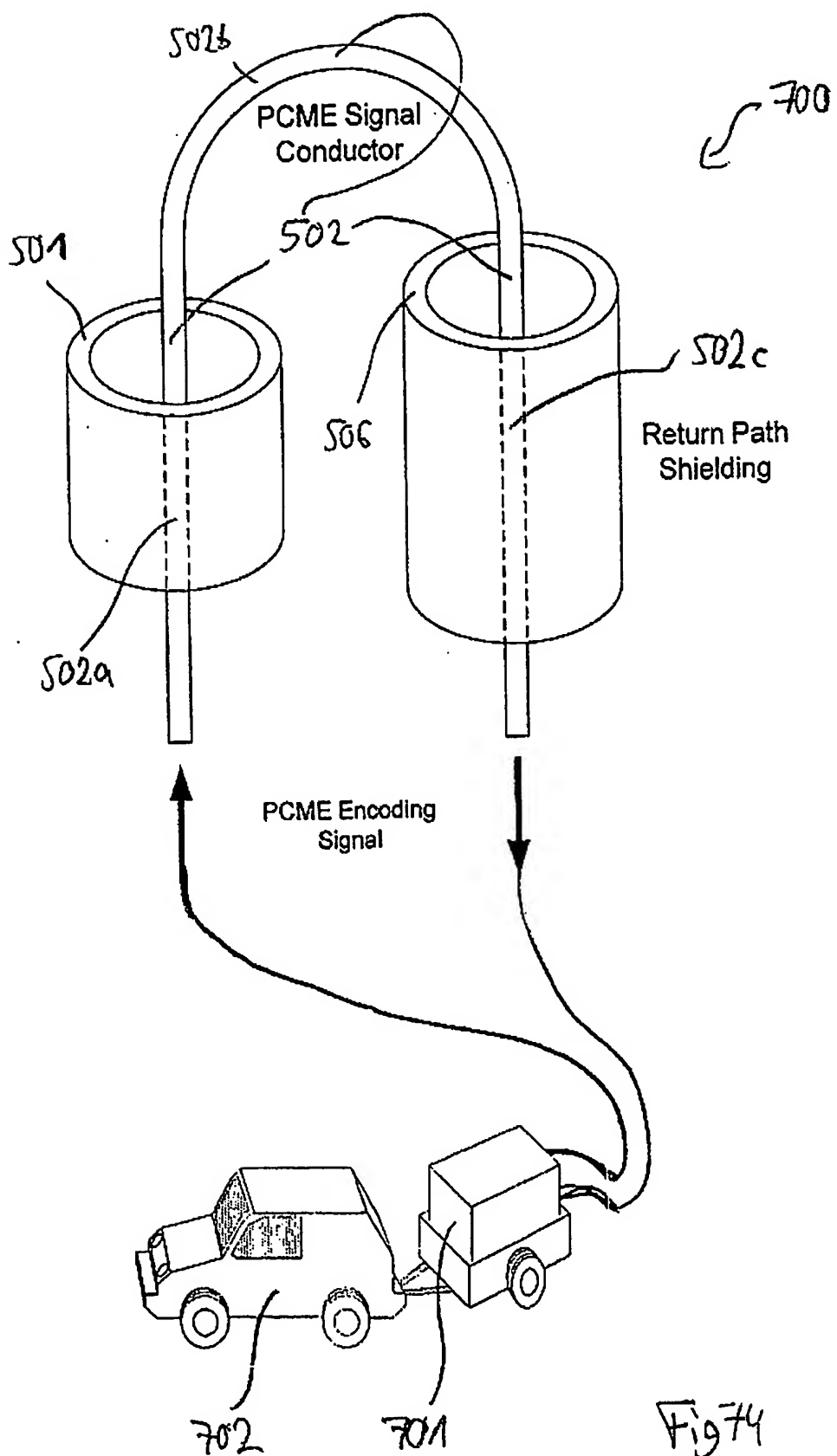


Fig 74

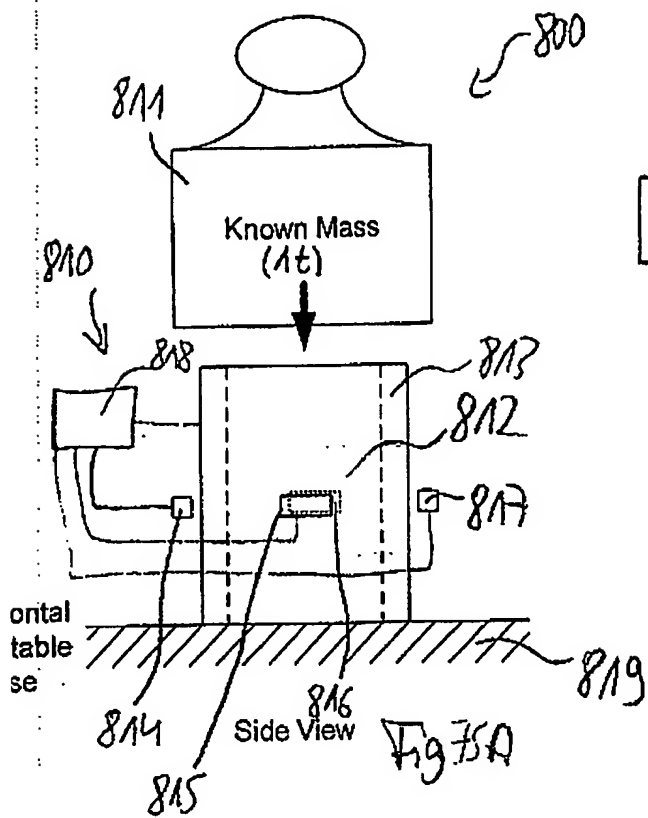
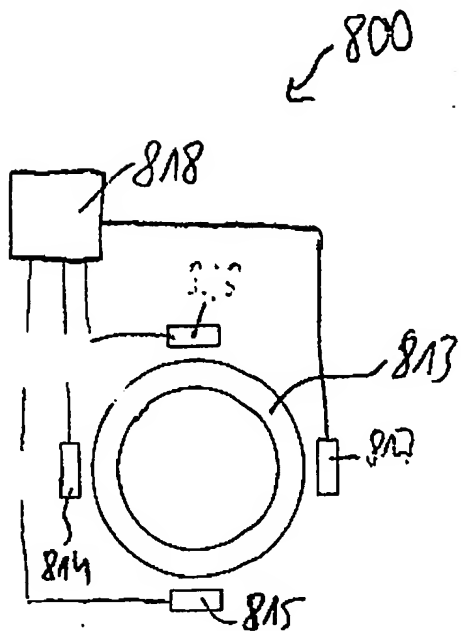
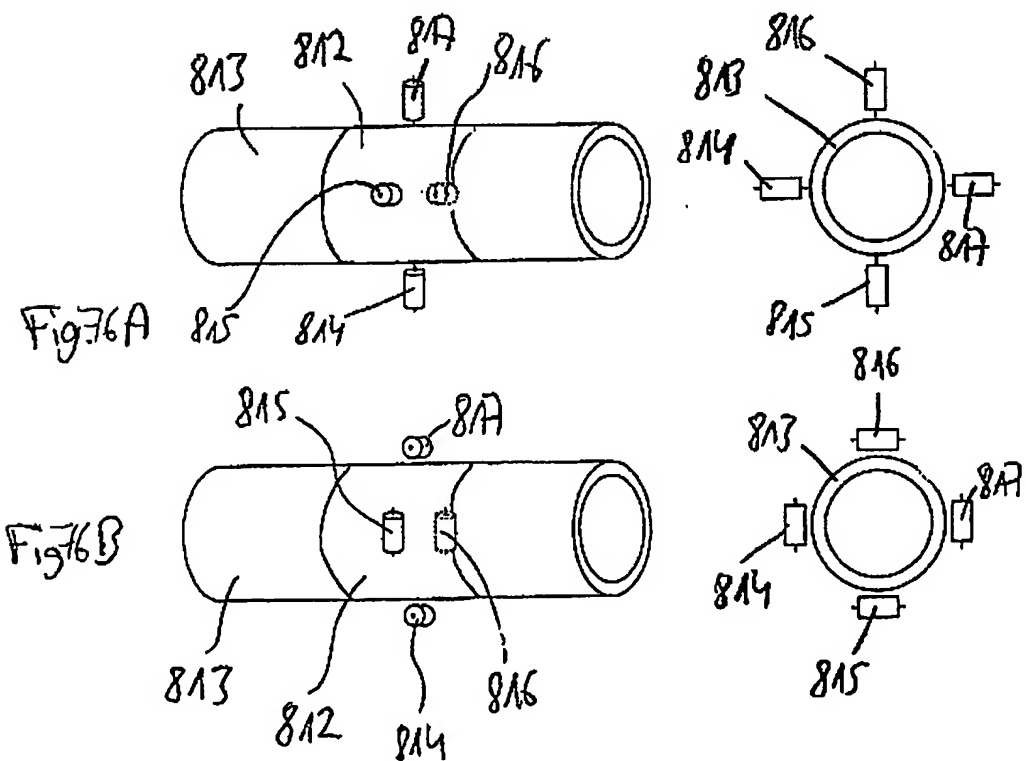
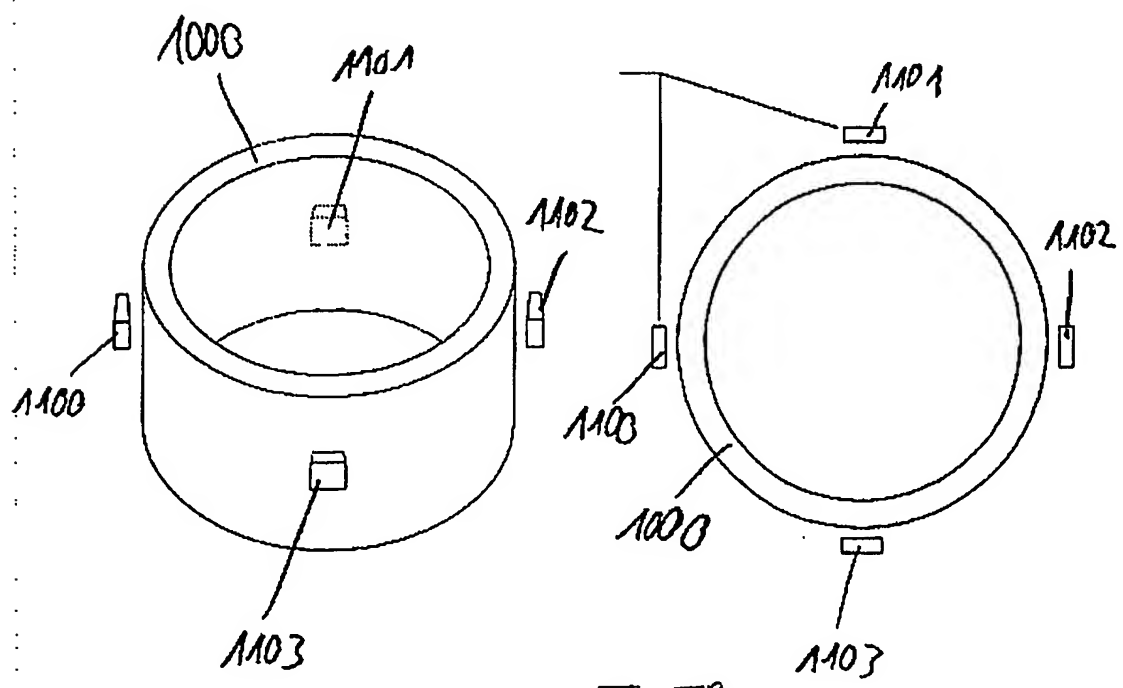
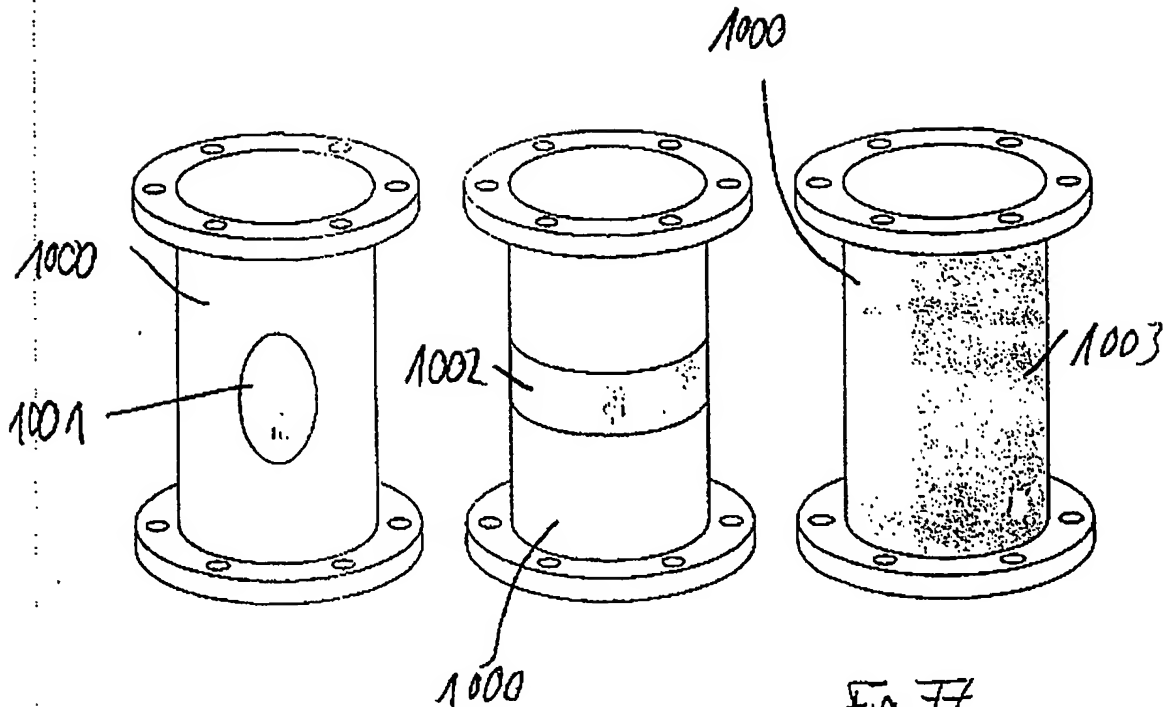


Fig 75A



Top View Fig. 75B





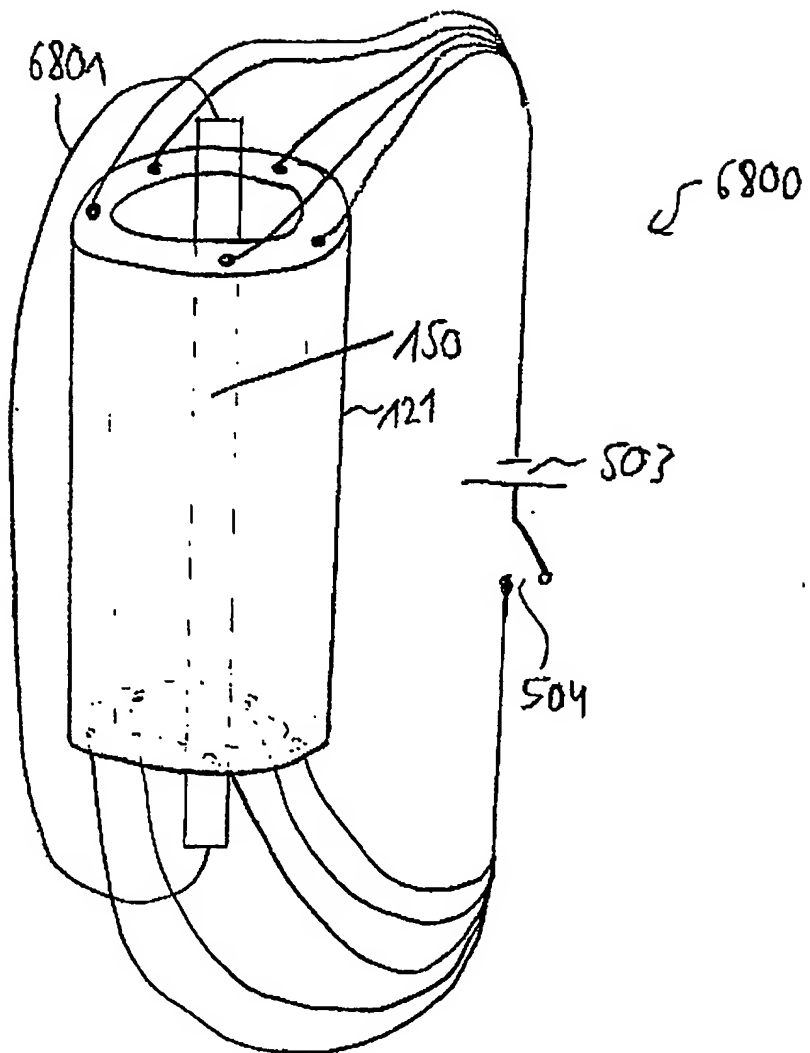


Fig. 79

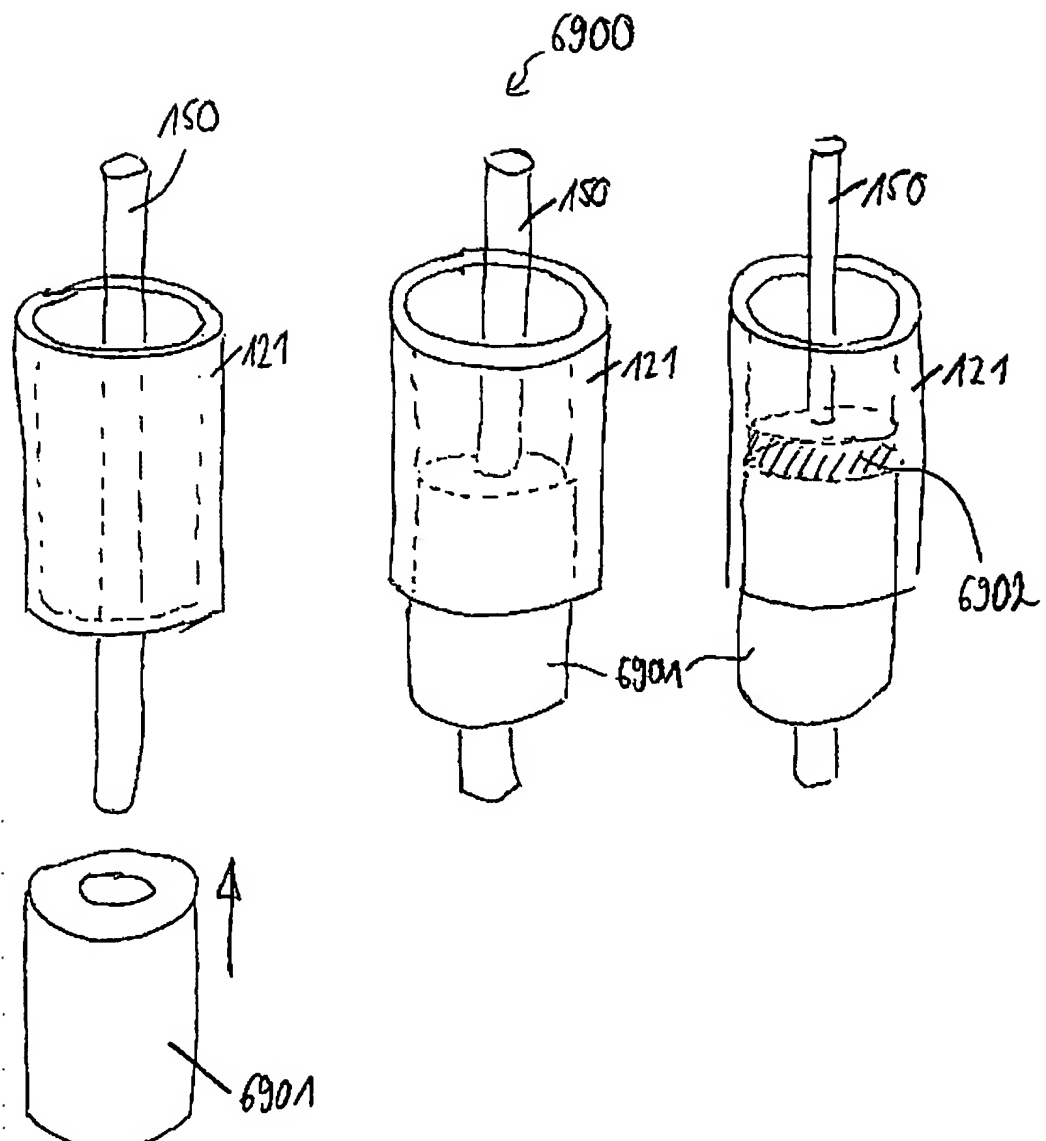


Fig. 80

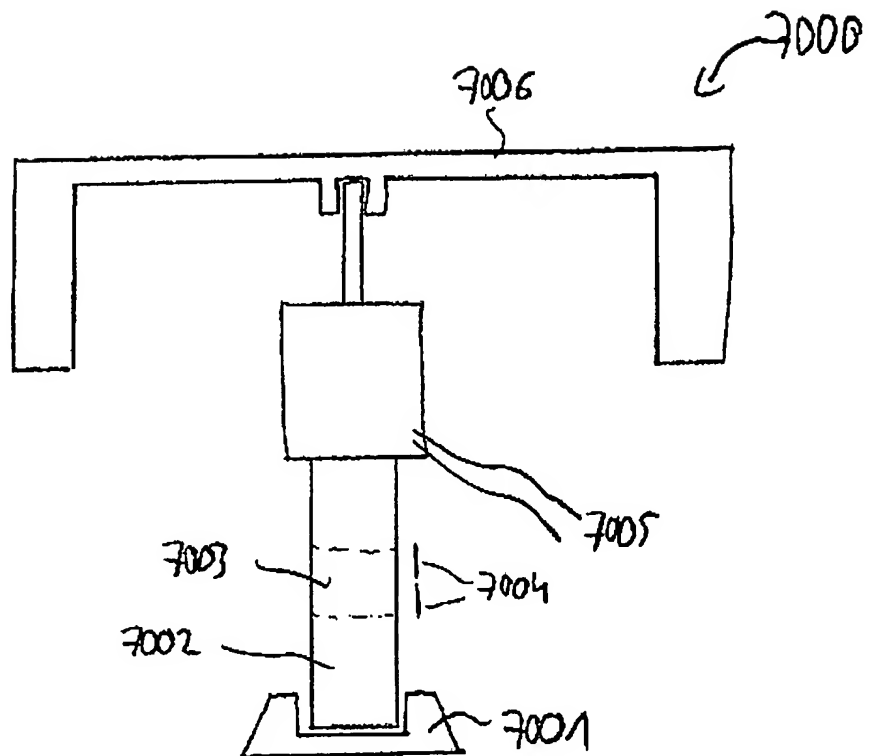


Fig. 81